

การหาค่าyoung's modulus ของวัสดุโดยใช้เทคนิคคลื่นเสียงอุลตร้าโซนิก
Young's Modulus of Materials Determine by Ultrasonic
Wave Technique

โดย

พศ.เรวัฒน์ เหลาไฟบูลย์

พศ.จินตนา เหลาไฟบูลย์

นายจิตกร ผลโยญ

ภาควิชาฟิสิกส์ คณะวิทยาศาสตร์ มหาวิทยาลัยอุบราชธานี

โครงการวิจัยนี้ได้รับการสนับสนุนจากสำนักงานงบประมาณแผ่นดิน

ปีงบประมาณ 2543

บทคัดย่อ

การวิจัยนี้เป็นการหาค่าขั้งโนมูลส์ของวัสดุโดยใช้คลื่นเสียงอุตสาหกรรม โดยใช้หัวตรวจสอบตรงและหัวตรวจสอบความถี่ 4 เมกะเฮิร์ต สำหรับวัสดุต่อไปนี้ กองแดง (UNS C 80100) , ทองเหลือง (UNS 3600 และ ASTM C 37700) อัลミニเนียม (A93102 และ AA6101) เหล็กพลาด้า (DIN C 25) เหล็กพลาขาว (DIN C 35) เหล็กกล้าไร้สนิม (JIS SUS 302 และ SS 304) และ White Ceramic (# PRC – 300 – 030 G และ # PRC – 300 – 050 A) ปรากฏว่าได้ค่าขั้งโนมูลส์เป็น 99.90 ± 1.82 GPa, 97.52 ± 6.53 GPa, 87.62 ± 1.42 GPa, 73.81 ± 0.48 GPa, 66.69 ± 1.68 GPa, 196.80 ± 2.62 GPa, 208.98 ± 1.36 GPa, 198.04 ± 1.72 GPa, 181.74 ± 2.80 GPa, 9.90 ± 1.36 GPa, 8.05 ± 1.54 GPa ตามลำดับ โดยเปรียบเทียบการทดสอบแรงดึงกับวัสดุโลหะตามมาตรฐาน นอก. 244 เล่ม 5 ได้ค่าขั้งโนมูลส์เป็น 96.80 ± 5.98 GPa, 93.04 ± 4.38 GPa, 82.85 ± 4.56 GPa, 76.91 ± 7.83 GPa, 66.06 ± 3.41 GPa, 196.22 ± 3.23 GPa, 187.10 ± 7.05 GPa, 195.07 ± 12.50 GPa, 184.97 ± 2.92 GPa ตามลำดับจากการเปรียบเทียบผลการทดสอบปรากฏว่า ได้ค่าขั้งโนมูลส์ใกล้เคียงกันแต่ค่าความเบี่ยงเบนมาตรฐานของการทดสอบแรงดึงมีค่ามากกว่าการทดสอบ โดยใช้คลื่นเสียงอุตสาหกรรม

การหาค่าขั้งโนมูลส์โดยใช้คลื่นเสียงอุตสาหกรรมสำหรับวัสดุโลหะและเซรามิก สมการที่ใช้คำนวณเป็นสมการคล้ายกัน โดยในวัสดุเซรามิกจะต้องพิจารณา Volume Fraction ด้วย

ในงานวิจัยนี้ได้หาส่วนผสมทางเคมีของธาตุต่าง ๆ ในวัสดุโลหะที่ใช้ทดสอบด้วยเครื่องอัมฟลูซซันเดปกไตรสโตร์ เพื่อจำแนกเกรดของวัสดุและหาค่าความหนาแน่นของวัสดุโดยใช้หลักการของอาร์คิดีส

Abstract

The Purpose of this Research is to Find Young's Modulus of a materials , Using a 4 MHz Ultrasonic Techniques. We want to find Young's Modulus of Copper (UNS C 80100) , Brass (UNS C 3600 and ASTM C 37700) , Aluminum (A 93102 and AA6101) Ferrous (DIN C 25) , Ferrous (DIN C 35) , Stainless Steel (JIS SUS 302 and SS 3041) and white ceramic (#PRC-300-030G and # PRC-300-050A). After Testing , we Obtained the Following Young's modulus Values for the above Materials , Respectively : 99.90 ± 1.82 GPa, 97.52 ± 6.53 GPa, 87.62 ± 1.42 GPa , 73.81 ± 0.48 GPa , 66.69 ± 1.68 GPa , 196.80 ± 2.62 GPa , 208.98 ± 1.36 GPa , 198.04 ± 1.72 GPa , 181.74 ± 2.80 GPa , 9.90 ± 1.36 GPa , 8.05 ± 1.54 GPa. The Comparative Tensile Test Standard Values are : 96.80 ± 5.98 GPa , 93.04 ± 4.38 GPa , 82.85 ± 4.56 GPa , 76.91 ± 7.83 Gpa , 66.06 ± 3.41 GPa , 196.22 ± 3.23 GPa , 187.10 ± 7.05 GPa , 195.07 ± 12.50 GPa , 184.97 ± 2.92 GPa. Thus our obtained experimental results show Young's Modulus value close to the standard values. However , the comparative tensile test standard deviation values are greater than the standard deviation value obtained by the Ultrasonic Techniques.

Determination of Young's Modulus of Metal and Ceramics Materials by Ultrasonic Techniques , The Equation for Calculate are same in Ceramic Materials We must consider the volume fraction.

In this Research , we found the compound of the Materials used in our test by Emission Spectroscopy.

กิตติกรรมประกาศ

ผู้วิจัยขอขอบคุณวิรชช จันทร์ นักวิชาการศูนย์พัฒนาและวิเคราะห์สมบัติวัสดุ สถาบัน
วิจัยวิทยาศาสตร์และเทคโนโลยีแห่งประเทศไทย ที่กรุณาให้กำปรึกษาที่เป็นประโยชน์อย่างยิ่งต่อ¹
งานวิจัยนี้

ขอขอบคุณคุณสมหวัง บรรเทา ที่กรุณาให้ความช่วยเหลือและให้กำปรึกษาในการ
วิเคราะห์ผลการทดสอบแรงดึง

สารบัญ

	หน้า
บทกัดย่อไทย	ก
บทกัดย่อภาษาอังกฤษ	ข
กิตติกรรมประกาศ	ค
สารบัญ	ง
สารบัญตารางประกอบ	น
สารบัญรูปประกอบ	ฉ
บทที่ 1 บทนำ	1
1.1 ความสำคัญและที่มาของปัญหา	1
1.2 วัตถุประสงค์และขอบเขตของการวิจัย	1
1.3 สถานที่ทำการวิจัย	1
1.4 ประโยชน์ที่คาดว่าจะได้รับ	1
1.5 วิธีดำเนินการวิจัย	2
บทที่ 2 การหาค่าขั้งไมครոสโคปใช้คลื่นเสียงอุตศร้าไซนิก	3
2.1 หลักการเบื้องต้นเกี่ยวกับคลื่นเสียงอุตศร้าไซนิก	3
2.2 ชนิดของคลื่นเสียง	4
2.3 สมการเกี่ยวกับคลื่นเสียงอุตศร้าไซนิกที่ใช้ในการตรวจสอบ	5
2.4 การตรวจสอบโดยใช้คลื่นเสียงอุตศร้าไซนิก	7
บทที่ 3 วัสดุ อุปกรณ์ และวิธีการทดลอง	12
3.1 วัสดุอุปกรณ์สำหรับใช้ในการหาค่าขั้งไมครอสโคปและการทดสอบแรงดึง	12
3.2 วัสดุอุปกรณ์สำหรับใช้ในการหาค่าขั้งไมครอสคลื่นเสียงอุตศร้าไซนิก	12
3.3 วัสดุอุปกรณ์ในการหาส่วนผสมทางเคมีในวัสดุ	12
3.4 ขั้นตอนการทดลอง	12
บทที่ 4 ผลการทดลอง	15
4.1 ผลการทดสอบการหาค่าขั้งไมครอสโคปและการทดสอบแรงดึง	15
4.2 ผลการทดสอบการหาค่าขั้งไมครอสโคปใช้คลื่นเสียงอุตศร้าไซนิก	15
4.3 ตารางเปรียบเทียบค่าขั้งไมครอสจากการใช้คลื่นเสียงอุตศร้าไซนิก	18
จาก การทดสอบแรงดึงและตารางมาตรฐาน (ASTM)	
4.4 ผลการกាณวณหาค่าขั้งไมครอสของ Alumina โดยเปลี่ยนแปลงเงื่อนไขต่างๆ	19

สารบัญ

หน้า

บทที่ 5 สรุปผลการทดสอบ	21
5.1 สรุปผลการทดสอบ	21
5.2 ข้อเสนอแนะ	23
 บรรณานุกรม	 24
ภาคผนวก ก	25
ภาคผนวก ข	28
ภาคผนวก ค	32

สารบัญตารางประกอบ

ตารางที่	หน้า
4.2.1 ผลการวัดความเร็วเสียงอุลตร้าโซนิกในวัสดุ	16
4.2.2 ผลการทดสอบการหาค่าเย็บไม่คูลัสโดยใช้คิลิมเสียงอุลตร้าโซนิก จากการคำนวณโดยใช้สมการ (2.3.9)	17
4.3.1 ผลการเปรียบเทียบค่าเย็บไม่คูลัสโดยการทดสอบแรงดึง , ใช้คิลิมเสียงอุลตร้าโซนิก และตารางมาตรฐาน (ASTM)	18
4.4.1 ผลการคำนวารหาค่าเย็บไม่คูลัสของ Alumina โดยเปลี่ยนแปลงค่า pH	19
4.4.2 ผลการคำนวารหาค่าเย็บไม่คูลัสของ Alumina โดยกำหนดให้ pH = 4 แต่อุณหภูมิ และเวลาที่ให้อุณหภูมิในการขึ้นรูปเปลี่ยนไป	19
4.4.3 ผลการคำนวณหาค่าเย็บไม่คูลัสของ Alumina โดยกำหนดให้ pH = 10.5 แต่อุณหภูมิ 20 และเวลาที่ให้อุณหภูมิในการขึ้นรูปเปลี่ยนไป	20
4.5.1 สัญลักษณ์และความหมาย	31

สารบัญรูปประกอบ

รูปที่	หน้า
2.2.1 แสดงการเกิดคลื่นกด (Compression Wave) หรือคลื่นยาว (Longitudinal Wave)	4
2.2.2 แสดงการสั่นสะเทือนของอนุภาคในคลื่นตามยาว (Transverse Wave)	5
2.4.1 ปฏิกริยาพิโซอิเล็กทริกแบบตรงและแบบกลับ	7
2.4.2 เสียงเดินทางและสะท้อนกลับในตัวก่อสร้าง	8
2.4.3 โครงสร้างของหัวตรวจสอนแบบตั้งฉาก	9
2.4.4 การสะท้อนการหักเหและการเปลี่ยนรัศมีของคลื่น	10
2.4.5 การเกิดคลื่นตามยาว	11
2.4.6 โครงสร้างของหัวตรวจสอนแบบมนุษย์	11
3.1.1 เครื่อง Electromechanical Universal Testing Machine	13
3.1.2 เครื่องอุตสาหกรรม	14
3.1.3 เครื่อง Emission Spectroscopy	14
5.1.1 กราฟแสดงการเปรียบเทียบค่าซังในคุณลักษณะการทดสอบแรงดึง (E_x) และการใช้ค่าเสียงอุตสาหกรรม (E_B)	21
5.1.2 กราฟแสดงการเปรียบเทียบค่าซังในคุณลักษณะการคำนวณ โดยใช้สมการ E_x และค่าซังในคุณลักษณะการคำนวณโดยใช้ สมการ E_y	22
ก.1.1 แห่งมาตรฐาน K_2 (DIN 54122)	26
ก.1.2 แห่งมาตรฐาน K_1 (DIN 54120)	27

บทที่ 1

บทนำ

1.1 ความสำคัญและที่มาของปัจจุบัน

ค่าบั้งโมดูลัส (Young's Modulus) เป็นค่าหนึ่งที่บ่งบอกถึงคุณสมบัติของวัสดุ ได้จากการทดสอบแรงดึง (Tensile Test) ซึ่งเป็นวิธีการทดสอบแบบทำลาย (Destructive Testing : DT) โดยการเตรียมชิ้นงานให้ได้ขนาดและรูปร่างตามมาตรฐานที่กำหนด เช่น มาตรฐาน มอก 244 เล่ม 4 ที่ง 7,2525 หรือมาตรฐานอื่นๆ ที่จะกำหนดให้ เนื่องจากการหาค่าบั้งโมดูลัสคัวบิวตี้นี้ไม่สะดวก และไม่เหมาะสมสำหรับวัสดุที่มีความแข็งสูงมาก จึงได้หานาฬิกใหม่ในการหาค่ามี คือเทคนิคการใช้คลื่นเสียงอุตสาหกรรม ซึ่งเป็นวิธีหนึ่งของการทดสอบแบบไม่ทำลาย (Non Destructive Testing : NDT) โดยใช้คลื่นเสียงอุตสาหกรรม ซึ่งเป็นคลื่นแม่เหล็กไฟฟ้าที่มีความถี่มากกว่า 20 kHz สามารถส่องผ่านตัวกลางและสะท้อนกลับมาได้ จึงนำไปใช้ประโยชน์ได้จริง เพื่อหาค่าโมดูลัสของวัสดุ

1.2 วัตถุประสงค์และขอบเขตของการวิจัย

- 1.2.1 เพื่อหาค่าบั้งโมดูลัสของวัสดุโดยใช้เทคนิคคลื่นเสียงอุตสาหกรรม
- 1.2.2 เปรียบเทียบผลการทดลองในข้อ 1.2.1 กับวิธีมาตรฐานที่ใช้ในอุตสาหกรรม
- 1.2.3 เพื่อใช้เป็นข้อมูลสำหรับใช้กับวัสดุที่เตรียมโดยวิธีมาตรฐานได้มาก
- 1.2.4 หาปริมาณของธาตุในวัสดุที่ทดสอบเพื่อจำแนกประเภทของวัสดุ

1.3 สถานที่ทำการวิจัย

- 1.3.1 ภาควิชาฟิสิกส์ คณะวิทยาศาสตร์ มหาวิทยาลัยอุบลราชธานี
- 1.3.2 ศูนย์พัฒนาและวิเคราะห์สมบัติวัสดุ สถาบันวิจัยวิทยาศาสตร์และเทคโนโลยีไทยแห่งประเทศไทย ชลบุรี กรุงเทพฯ และเทคโนโลยีไทย คลอง 5 ปทุมธานี

1.4 ประโยชน์ที่คาดว่าจะได้รับ

- 1.4.1 สามารถหาค่าโมดูลัสของวัสดุ โดยวิธีการตรวจสอบแบบไม่ทำลาย ซึ่งรวดเร็วกว่า การทดสอบแรงดึง เนื่องจากวัสดุบางประเภทเตรียมชิ้นงานทดสอบได้ยาก เช่น วัสดุเซรามิกส์สมัยใหม่ (New Ceramics)
- 1.4.2 หาสมการที่เหมาะสมสำหรับหาค่าบั้งโมดูลัส โดยเทคนิคคลื่นเสียงอุตสาหกรรม
- 1.4.3 ใช้เป็นข้อมูลเพื่อฐานสำหรับงานทางด้านวิศวกรรม

1.5 วิธีดำเนินการวิจัย

- 1.5.1 ศึกษาและทันควันเอกสารที่เกี่ยวข้องกับงานวิจัย การหาค่าใช้จ่ายโดยใช้คลื่นเสียงอุตสาหกรรม และการทดสอบแรงดึงตามมาตรฐาน
- 1.5.2 จัดเตรียมวัสดุและอุปกรณ์ที่จำเป็นต้องใช้ในงานวิจัย
- 1.5.3 ศึกษาวิธีการหาส่วนประกอบของธาตุต่างๆ ในวัสดุที่นำมาวิจัยโดยใช้เครื่องอิมิสชันสเปกโตรสโคป (Emission Spectroscopy)
- 1.5.4 เตรียมชิ้นงานเพื่อทดสอบแรงดึงตามมาตรฐาน มอก 244 เล่ม 4-2525 รายละเอียดอยู่ในภาคผนวก ข.
- 1.5.5 เตรียมชิ้นงานเพื่อทดสอบโดยใช้คลื่นเสียงอุตสาหกรรมให้มีขนาด 26 mm x 26 mm x 100 mm
- 1.5.6 เตรียมชิ้นงานเพื่อหาส่วนประกอบของธาตุในวัสดุ โดยตัดให้ได้ขนาดเด่นผ่านสูญญากาศ 20 mm
- 1.5.7 หาค่าใช้จ่ายโดยใช้เครื่องทดสอบแรงดึง (Tensile Machine)
- 1.5.8 หาค่าใช้จ่ายโดยใช้คลื่นเสียงอุตสาหกรรม โดยวัดความเร็วคลื่นเสียงตามมาตราฐานเร็วคลื่นเสียงตามขวางและความหนาแน่นของวัสดุที่ทดสอบ
- 1.5.9 หาส่วนประกอบของธาตุในวัสดุ โดยใช้เครื่องอิมิสชันสเปกโตรสโคป
- 1.5.10 เปรียบเทียบข้อมูลที่ได้จากการทดสอบในข้อ 1.5.7, 1.5.8 และจากตารางมาตรฐาน
- 1.5.11 สรุปและรายงานผลการวิจัย

บทที่ 2

การหาค่าด้วยโมดูลัสโดยใช้คลื่นเสียงอุตสาหกรรม

2.1 หลักการเบื้องต้นเกี่ยวกับคลื่นเสียงอุตสาหกรรม

คลื่นเสียงอุตสาหกรรมนิคเป็นคลื่นเสียงที่มีความถี่มากกว่า 20 kHz เป็นคลื่นเสียงที่มีความถี่สูงซึ่งมนุษย์ไม่สามารถได้ยิน สำหรับคลื่นเสียงที่มนุษย์สามารถได้ยินหรือรับรู้ได้นั้นจะมีความถี่อยู่ระหว่าง 20 – 20,000 Hz โดยทั่วไปคลื่นเสียงอุตสาหกรรมนิคหมายว่า เป็นคลื่นเสียงที่มีความถี่สูงกว่า 20,000 Hz หรือ 20 kHz แต่ปรากฏการณ์ทางกายภาพเดียวกับคลื่นเสียงที่มีความถี่สูง หรือต่ำกว่า 20 kHz ก็ยังมีคุณสมบัติดของคลื่น ตามธรรมชาติของคลื่นเสียงสามารถแยกลักษณะที่ไปได้ก็ต่อเมื่อมีตัวกล่างเป็นตัวนำพาไป “ไม่ว่าจะเป็นอากาศ , ของแข็ง และของเหลว แต่ในอากาศคลื่นเสียงจะไม่สามารถเคลื่อนที่ไปได้ ถ้าความถี่ของคลื่นนั้นสูงกว่า 1 MHz ซึ่งเป็นความถี่ในช่วงอุตสาหกรรมนิค เมื่อจากคลื่นเสียงอุตสาหกรรมนิคที่มีความถี่สูงกว่า 1MHz จะมีความขาวคลื่นสั่นกว่าระยะห่างระหว่างรอบ จึงทำให้คลื่นเสียงไม่สามารถเคลื่อนที่ผ่านอากาศได้ และนอกจากนี้คลื่นเสียงยังมีคุณสมบัติการสะท้อนและการหักเหตามกฎของสเนลล์ ดังสมการ

$$\frac{\sin \alpha}{\sin \alpha_2} = \frac{c_1}{c_2} \quad (2.1.1)$$

ด้วยคุณสมบัติต่างๆ ของคลื่นเสียง โดยเฉพาะความสามารถในการนำพาเสียงที่คือตัวกล่าง ได้มีการประยุกต์ใช้งานทางด้านเทคนิคกันอย่างกว้างขวาง เช่น การสะท้อนกลับของคลื่นเสียงสามารถวัดความลึกของห้องน้ำได้ การใช้เครื่องโซนาร์สามารถตรวจหาฝุ่นปลา เรือลำน้ำและเรือท่ออย่างล่อโลกไป

ในการวัดความลึกของห้องน้ำ จะใช้หลักการการสะท้อนกลับ (Reflection) ของคลื่นเสียงที่พื้นทะเล โดยบริเวณห้องเรือจะส่งสัญญาณเสียงเป็นช่วงๆ (Pulse) ลงไปด้วยเครื่องส่งสัญญาณเมื่อคลื่นเสียงไปกระทบกับพื้นทะเลจะสะท้อนกลับมาจากพื้นทะเล และจะรับสัญญาณคลื่นที่สะท้อนกลับมาโดยเครื่องรับสัญญาณ

ในการวัดความลึกของทะเลจะโดยการนับเวลา โดยเริ่มนับเวลาที่ส่งคลื่นออกไปจนถึงนั้นสะท้อนกลับมาที่เครื่องรับสัญญาณ และเนื่องจากความเร็วในการเดินทางของคลื่นเสียงในน้ำมีค่าคงที่ ทำให้สามารถคำนวณความลึกของทะเลได้ ความสามารถในการนำพาเสียงที่คือของแข็ง ได้ถูกนำมาใช้ประโยชน์ในด้านการตรวจสอบวัสดุ ในกรณีนี้ได้ใช้คุณสมบัติด้านการสะท้อนกลับของเสียง จึงทำให้สามารถตรวจสอบโดยไม่ต้องเข้าสู่งานทดสอบ เหตุผลที่ใช้คลื่นเสียงอุตสาหกรรมนิคในการตรวจสอบชิ้นงาน คือ มีความเข้มของเสียงสูง, ความยาวคลื่นสั้น, ความถี่สูง จึงนำคลื่นเสียง

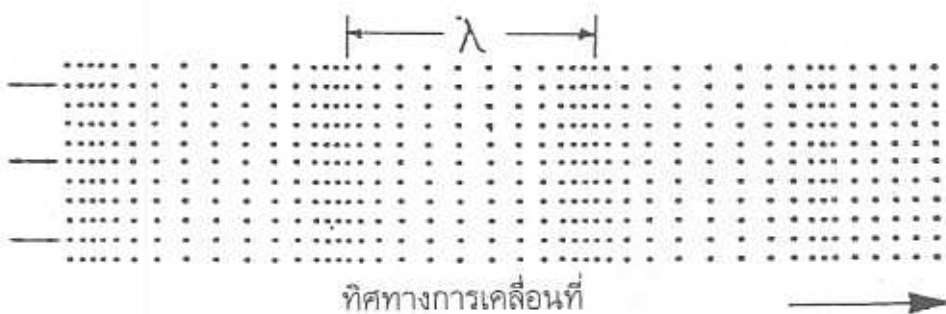
อุลตร้าโซนิกมาใช้ในการตรวจสอบวัสดุ ความถี่ที่ใช้ในการตรวจสอบวัสดุในงานอุตสาหกรรมโดยทั่วไปอยู่ระหว่าง 0.5 ถึง 15 MHz ซึ่งในการตรวจสอบวัสดุโดยใช้คลื่นเสียงอุลตร้าโซนิกที่นิยมใช้คือวิธีพัลส์อคโติก (Pulse Echo Method)

การเกลื่อนที่ของคลื่นเสียงในตัวกล้อง ถ้าเป็นของเหลวที่ทางของการสั่นสะเทือนของอนุภาคจะเป็นแนวเดียวกับทิศทางการเกลื่อนที่ของตัวคลื่น อาศัยหลักการบินและข่ายตัวของไมโครกลุ่มของเหลว ซึ่งคลื่นเสียงประพฤตนี้ชื่อเรียกว่าคลื่นเสียงตามยาว (Longitudinal Wave)แต่ในตัวกล้องที่เป็นของแข็งซึ่งจะมีความหนาแน่นสูงกว่าของเหลวมาก กล่าวก็อ อะตอน หรือไมโครกลุ่มมีระยะห่างกันไม่น่าจะนัก นอกจากนี้อะตอนยังมีการเรียงตัวอย่างเป็นระเบียบ และมีแรงดึงดันที่จะหักเหไปทางข้างหน้า จากเหตุผลนี้พบว่าการเกลื่อนตัวของคลื่นเสียงในตัวกล้องที่เป็นของแข็งสามารถเป็นไปได้ 2 ลักษณะ ก็อ ทิศทางของการสั่นสะเทือนของอนุภาคเป็นแนวเดียวกับทิศทางการเกลื่อนของตัวคลื่น และทิศทางการสั่นสะเทือนของอนุภาคตั้งฉากกับทิศทางการเกลื่อนที่ของตัวคลื่น

2.2 ชนิดของคลื่นเสียง

ชนิดของคลื่นเสียงสามารถแบ่งออกได้โดยอาศัยลักษณะการสั่นสะเทือนของอนุภาคที่เป็นตัวกลางที่ให้เกลื่อนที่ ดังนี้

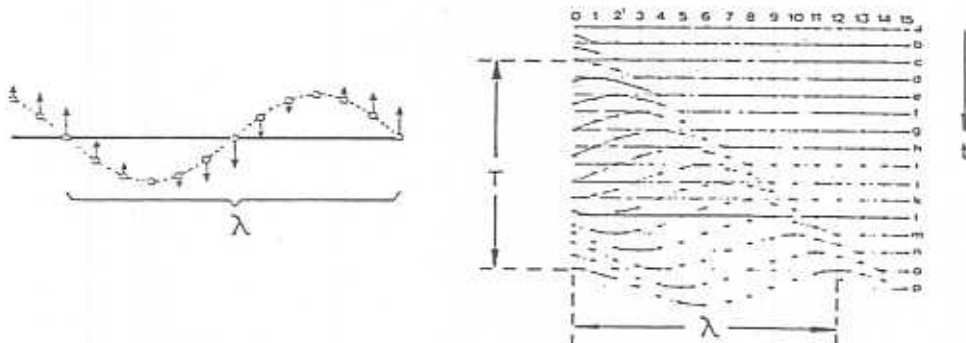
2.2.1 คลื่นเสียงตามยาว (Longitudinal Wave : C_L) เป็นคลื่นที่มีทิศทางการสั่นสะเทือนของอนุภาคในแนวเดียวกับทิศทางการเกลื่อนที่ของคลื่น ความเร็วเสียง C_L นี้มีค่าคงที่ในวัสดุแต่ละประเภทเช่น เหล็กกล้า $C_L = 5920 \text{ m/s}$, อะกูมิเนิน $C_L = 6300 \text{ m/s}$ เมื่อพิจารณาคลื่นที่เกลื่อนที่จะพบว่าการกระจายตัวและการอัดตัวของอนุภาคจะมีระยะห่างคงที่ตลอดขณะที่คลื่นเคลื่อนที่ในตัวกล้อง แสดงดังรูปที่ 2.2.1



รูปที่ 2.2.1 แสดงการเกลื่อนกด (Compression Wave) หรือคลื่นยาว (Longitudinal Wave)

โดยลักษณะที่คลื่นตามยาวมีพิสัยทางการเคลื่อนที่ในทิศเดียวกับอนุภาคซึ่งทำให้คลื่นประเภทนี้มีความเร็วต่ำสุด

2.2.2 คลื่นเสียงตามยาว (Transverse Wave : C_T) คือคลื่นที่มีแนวการสั่นสะเทือนของอนุภาค ตั้งฉากกับพิสัยทางการเคลื่อนที่ของคลื่น จะสังเกตเห็นว่าการเคลื่อนตัวของอนุภาคจะไม่อยู่ในทิศเดียวกับการเคลื่อนที่ของคลื่นแต่จะเป็นแนวขวาง ดังรูปที่ 2.2.2



รูปที่ 2.2.2 แสดงการสั่นสะเทือนของอนุภาคในคลื่นตามยาว (Transverse Wave)

จากเหตุผลดังกล่าวจึงทำให้คลื่นตามยาวมีความเร็วช้ากว่าคลื่นตามยาวอยู่ประมาณสองเท่าและเป็นต่ำกว่าที่สำหรับวัสดุเดียวนิด เห็น เหล็กถ้า $C_L = 5920 \text{ m/s}$, $C_T = 3255 \text{ m/s}$

2.3 สมการเกี่ยวกับคลื่นเสียงอุตสาหกรรมที่ใช้ในการตรวจสอบ

ในการตรวจสอบวัสดุโดยใช้คลื่นเสียงอุตสาหกรรม มีสมการที่เกี่ยวข้องดังนี้

2.3.1 สมการการหาค่าความเร็วคลื่นตามยาว

$$C_L = \sqrt{\frac{E(1-\mu)}{\rho(1+\mu)(1-2\mu)}} \quad (2.3.1)$$

2.3.2 สมการการหาค่าความเร็วคลื่นตามขวาง

$$C_T = \sqrt{\frac{E}{2\rho(1+\mu)}} \quad (2.3.2)$$

2.3.3 สมการแสดงความสัมพันธ์ระหว่างความเร็วคลื่นตามขวางและความเร็วคลื่นตามยาว

$$C_T = C_L \sqrt{\frac{1-2\mu}{2(1-\mu)}} \quad (2.3.3)$$

2.3.4 สมการหาค่า Poisson's Ratio

$$\mu = \frac{\frac{1}{2} - \left(\frac{C_T}{C_L}\right)^2}{1 - \left(\frac{C_T}{C_L}\right)^2} \quad (2.3.4)$$

2.3.5 สมการหาค่าเชิญไมคุตต์ส

$$G = \rho C_T^2 \quad (2.3.5)$$

2.3.6 สมการหาค่าขังไมคุตต์ส

$$E = 2G(1 + \mu) \quad (2.3.6)$$

$$E = \phi \rho C_L^2 \left[\frac{3 - \left(\frac{4}{b^2}\right)}{b^2 - 1} \right] \quad (2.3.7)$$

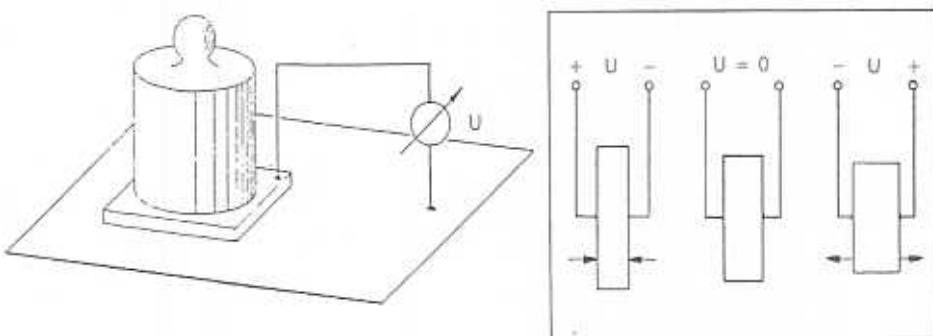
$$E = \rho C_L^2 \left\{ \frac{(1+\mu)(1-2\mu)}{1-\mu} \right\} \quad (2.3.8)$$

$$E = 4\rho C_T^2 \left[\frac{\frac{3}{4} - \left(\frac{C_T}{C_L}\right)^2}{1 - \left(\frac{C_T}{C_L}\right)^2} \right] \quad (2.3.9)$$

2.4 การตรวจสอบโดยใช้คลื่นเสียงอุลตร้าโซนิก

2.4.1 การกำเนิดคลื่นเสียงอุลตร้าโซนิก

คลื่นเสียงเกิดจากการสั่นสะเทือนและสามารถเกิดขึ้นที่ได้โดยอาศัยตัวกลางเป็นตัวนำพาคลื่น คลื่นเสียงอุลตร้าโซนิกก็เช่นเดียวกันเกิดขึ้นจากการสั่นของผลึก (Crystal) บางชนิดที่มีคุณสมบัติพิเศษ คือถ้ามีแรงกดชนกกระทำต่อผลึกนี้ จะทำให้ความหนาแน่นของแผ่นผลึกนี้เปลี่ยนแปลงรวมถึง ความสมดุลของความด่างศักย์ด้วยก็จะเกิดสนามไฟฟ้าขึ้นซึ่งวัดความด่างศักย์ได้จากผิวผลึกซึ่งเคลื่อน ตัวยิ่ง คุณลักษณะนี้เรียกว่าปฏิกิริยาไฟฟ้าอิเล็กทริกแบบตรง (Direct Piezoelectric Effect) ความ ดันที่เปลี่ยนแปลง เช่น คลื่นเสียงจะส่งผลโดยตรงทำให้กاشเป็นความด่างศักย์ที่เปลี่ยนไปตามแผ่น ผลึกนี้จะสามารถใช้เป็นตัวรับได้ (Receiver) ปฏิกิริยาไฟฟ้าอิเล็กทริกแบบตรงนี้สามารถเป็นแบบคลับ ได้ถ้าส่งความด่างศักย์ไปที่ผิวของแผ่นผลึก จะทำให้แผ่นผลึกนั้นมีความหนาเปลี่ยนแปลงไปซึ่งชื่น อยู่กับข้อความด่างศักย์ความหนาอาจเพิ่มขึ้นหรือลดลง ดังรูปที่ 2.4.1

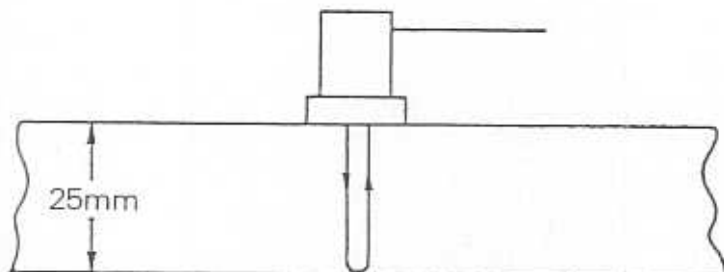


รูปที่ 2.4.1 (ข้าว): ปฏิกิริยาไฟฟ้าอิเล็กทริกแบบตรง (Direct Piezoelectric Effect)

(ขวา): ปฏิกิริยาไฟฟ้าอิเล็กทริกแบบกลับ (Indirect Piezoelectric Effect) สำหรับการส่งความด่างศักย์ไฟฟ้าความถี่สูงไปยังผิวของแผ่นผลึกจะทำให้แผ่นผลึกนั้นสั่นไปตามความถี่ของศักย์ไฟฟ้า ผลึกไฟฟ้าอิเล็กทริกที่พบตามธรรมชาติ คือ ควอตซ์ (Quartz) ซึ่งในระยะเริ่มต้นนิยมใช้ทำเป็นผลึก สำหรับการตรวจสอบด้วยคลื่นเสียงอุลตร้าโซนิก สำหรับหัวตรวจสอบในปัจจุบันจะใช้โพล่าไรซ์เซิน เทอร์เซรามิก หรือผลึกเทียนแทนผลึกควอตซ์

2.4.2 หลักการทำงานของเครื่องอุลต์ร้าโซนิก

จากหัวข้อที่กล่าวมาหัวตรวจสอบเป็นตัวส่งพัลส์อุลต์ร้าโซนิกเข้าไปในชิ้นงาน ด้านบนนี้ ผิวทึบสองข้างบนกับพัลส์ที่ถูกส่งออกไปจะสะท้อนที่ผิวตรงข้ามกลับมาจังหวัดตรวจสอบ เกตเอน การเดินทางของเสียงเป็นสิ่งที่เราต้องการที่จะวัด ดังรูปที่ 2.4.2



รูปที่ 2.4.2 เสียงเดินทางและสะท้อนกลับในตัวกลาง

พิจารณาจากรูปที่ 2.4.2 หัวตรวจสอบส่งพัลส์เสียงตั้งจากกับผิวชิ้นงาน (คิล์นyaw) ซึ่งทำจากเหล็กกล้าหนา 25 mm ระยะทางที่คิล์นเสียงเดินทางไปและกลับเป็นระยะ $W = 50 \text{ mm}$ ความเร็วเสียงคิล์นตามyawในเหล็กกล้าทำให้เราสามารถคำนวณเวลาที่เสียงเดินทางໄດ້ คือ

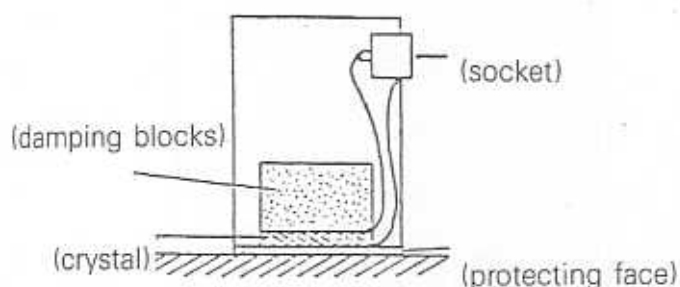
$$t = \frac{W}{C_L} = \frac{50}{5920} \cdot \frac{\text{mm}}{\text{m/s}} = 8.4 \times 10^{-6} \text{ s}$$

ซึ่งระยะเวลาที่สั้นขนาดนี้ไม่สามารถวัดแบบเชิงกลได้ จึงใช้ Cathode Ray Tube (CRT) ช่วยในการวัด

2.4.3 โครงสร้างหัวตรวจสอน (Probe Structure) แบ่งออกเป็น 3 ชนิดคือในที่นี้จะกล่าวเพียง 2 ชนิด ก็คือ

1) หัวตรวจสอนแบบตั้งฉากหรือแบบหัวตรง (Normal Beam Probe)

เป็นหัวตรวจสอนที่มีทิศทางการแผ่กระชายของตัวคลื่นตั้งจากกับผิวชิ้นงาน คลื่นเสียงจะเคลื่อนที่ผ่านเข้าไปในเนื้อวัสดุและสะท้อนกลับจากผิวชิ้นงาน ถ้าผิวชิ้นงานมีผิว สลักข้างบนนัน คลื่นเสียงที่สะท้อนกลับมาข้างหัวตรวจสอนและสะท้อนสัญญาณของมาที่หน้าจอ พลังงานเสียงที่สะท้อนมาที่หัวตรวจสอนเป็นส่วนน้อยเท่านั้น ที่ผ่านเข้าไปในหัวตรวจสอนส่วนใหญ่จะสะท้อนที่ผิวนและวิ่งกลับเข้าไปในชิ้นงานอีกครั้งหนึ่ง จึงมีเอกโอด (echo) ผิวหลังอีก 1 อีกด้วยในหัวตรวจสอนชนิดนี้มีเพียงคลื่นตามยาวเท่านั้นเพราะมุนที่คลื่นเสียงต่อกратทบเป็นมุน 90 องศาจึงทำให้ไม่เกิดมุนหักเห โครงสร้างภายในของหัวตรวจสอนประกอบด้วย แผ่นพลาสติก Transducer ซึ่งเป็นตัวก้านนิคคลื่นเสียงแห่งนี้จะถูกยึดติดไว้กับแผ่นพลาสติกหรือ delay block และ damping block



ซึ่งทั้งหมดจะถูกบรรจุไว้ในภาชนะแข็งแรงทำจากพลาสติกหรือโลหะ ดังรูปที่ 2.4.3

รูปที่ 2.4.3 โครงสร้างของหัวตรวจสอนแบบตั้งฉาก (normal beam probe)

2) หัวตรวจสอนแบบหัวมุม (Angle Beam Probe)

ในบางกรณีต้องการที่จะตรวจดูในมุมที่หัวตรวจสอนไม่สามารถตรวจได้เมื่อใช้หัวตรวจสอนแบบตั้งฉาก เนื่องจากคลื่นเสียงที่ส่งเข้าไปไม่ตัดกราบที่ตั้งกพร่องเป็นมุนจากจึงต้องใช้หัวตรวจสอนแบบมุนที่สร้างคลื่นตามยาวติดไว้บน delay block รูปลักษณะคือต่อหัวหัวของ plexiglass และชิ้นงานวัสดุคลื่นเสียงที่ตัดกราบที่มีการหักเหและมีการเปลี่ยนโนดเป็นคลื่นตามยาว ทำให้เกิดคลื่นขวางและคลื่นขาวในชิ้นงานคลื่นเสียงที่สองชนิดนี้เมื่อสะท้อนกลับไปที่หัวมุมก็จะเปลี่ยนเป็นคลื่นขาวเสมอจึงทำให้ไม่สามารถทราบได้ว่าสัญญาณที่ได้รับมาจากคลื่นขาวหรือคลื่นขาวและทำให้ไม่สามารถหาตำแหน่งของตั้งกพร่องได้ เพราะคลื่นเสียงที่สองชนิดมีทิศทางและ

ความเร็วเสียงในวัสดุแตกต่างกัน ซึ่งปกติความเร็วคลื่นตามยาวมักมีความเร็วคลื่นตามขวางอยู่ประมาณ 2 เท่าของแก๊สญ้ำห้าโดยให้มุมต่อกลับของคลื่นตามยาวในหัวตรวจสอนจะถูกกำหนดให้มีขนาดใหญ่จนกระทั่งไม่เกิดคลื่นยาวในเหล็กกล้าเลย โดยอาศัยกฎของ สเนลล์ (Snell's law)

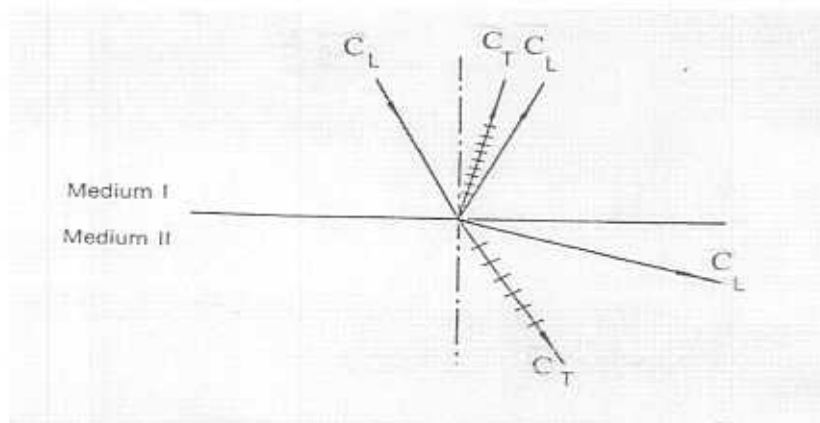
$$\frac{\sin \alpha_1}{\sin \alpha_2} = \frac{c_1}{c_2} \quad (2.4.1)$$

เมื่อ α_1 = มุมต่อกลับ

α_2 = มุมหักเห

C_1 = ความเร็วคลื่นเสียงในตัวกลางที่ 1

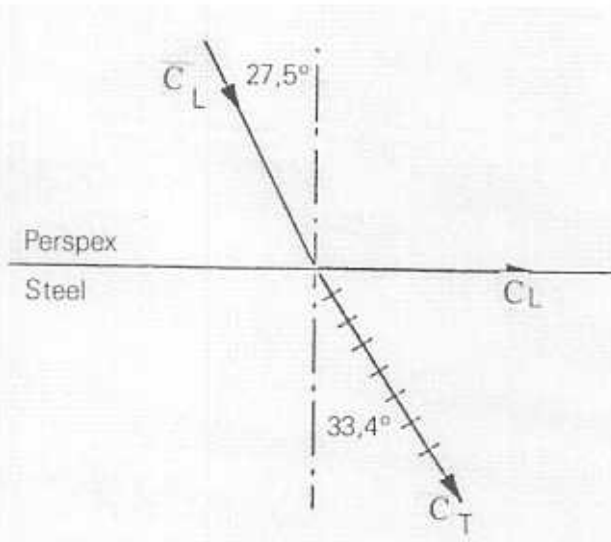
C_2 = ความเร็วคลื่นเสียงในตัวกลางที่ 2



รูปที่ 2.4.4 การสะท้อนการหักเหและการเปลี่ยนชนิดของคลื่น

ถ้ากำหนดให้ $\alpha_2 = 90^\circ$ ซึ่งเป็นมุมวิกฤตที่หนึ่ง (first critical angle) จะได้

$$\sin \alpha_1 = \frac{c_1}{c_2} = \frac{2370}{5920} \frac{\text{m/s}}{\text{m/s}}; \quad \alpha_1 = 27.5^\circ \quad (2.4.2)$$

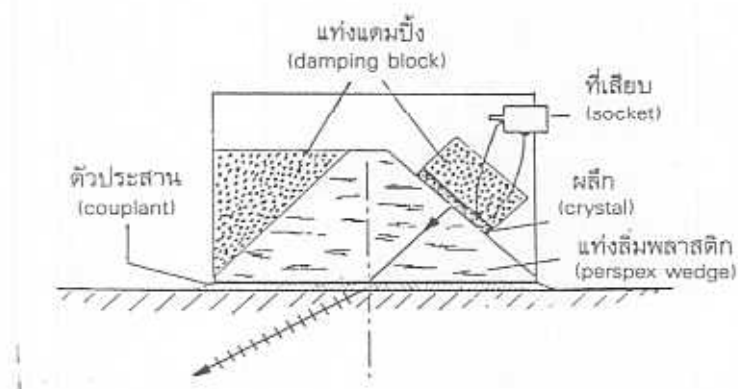


รูปที่ 2.4.5 การเกิดการดิ่นตามขวาง

เมื่อ α_2 เป็นมุมวิกฤตของหัวค่ามุมหักเห β_T ในเหล็กกล้าได้ดังนี้ จาก

$$\begin{aligned} \sin \beta_T &= \frac{C_T}{C_L} \sin \alpha_2 \\ &= \frac{3255}{2730} \cdot \sin 27.5^\circ \\ \beta_T &= 33.4^\circ \end{aligned} \quad (2.4.3)$$

สำหรับโครงสร้างของหัวตรวจส่องชนิดนี้จะแตกต่างจากหัวตรวจส่องแบบตั้งฉากตรงที่ใช้แผ่นพลาสติกเป็นรูปปีกแทนแผ่นพลาสติกด้านบน ดังรูปที่ 2.4.5



รูปที่ 2.4.6 โครงสร้างของหัวตรวจส่องแบบมุม (angle beam probe)

บทที่ 3

วัสดุ อุปกรณ์ และวิธีการทดสอบ

3.1 วัสดุอุปกรณ์สำหรับใช้ในการหาค่าเย็บโนมูลัส โดยการทดสอบแรงดึง

3.1.1 วัสดุที่ใช้มี 6 ประเภท คือ

1. ทองแดง (UNS C80100)
2. ทองเหลือง (UNS C 3600 และ ASTM C 37700)
3. อลูมิเนียม (A 93102 และ AA 6101)
4. เหล็กเพลาคำ (DIN C 25)
5. เหล็กเพลาขาว (DIN C 35)
6. เหล็กกล้าไร้สนิม (JIS SUS 302 และ SS 304)

3.1.2 เครื่องมือที่ใช้สำหรับหาค่าเย็บโนมูลัส

เครื่องทดสอบแรงดึง (Electromechanical Universal Testing Machine RSA 250) ยี่ห้อ SCHENCK Maximum Load 25×10^9 N/mm²

3.2 วัสดุอุปกรณ์สำหรับใช้ในการหาค่าเย็บโนมูลัสด้วยคลื่นเสียงอุลดร้าโนนิก

3.2.1 วัสดุที่ใช้มี 6 ประเภทตามข้อ 3.1.1 และ White Ceramic (# PRC-300 – 030 G และ # PRC-300 – 050 A)

3.2.2 เครื่องมือที่ใช้สำหรับหาค่าเย็บโนมูลัส Portable Ultrasonic Flaw Detector รุ่น USK 7 D ยี่ห้อ Krautkramer

3.3 วัสดุและอุปกรณ์ในการหาส่วนผสมทางเคมีในวัสดุ

3.3.1 วัสดุที่ใช้ 6 ประเภทตามข้อ 3.1.1

3.3.2 เครื่องมือที่ใช้สำหรับหาส่วนประกอบทางเคมีของวัสดุ เครื่องอิมิสเปกโทรสโคปี (Emission Spectroscopy)

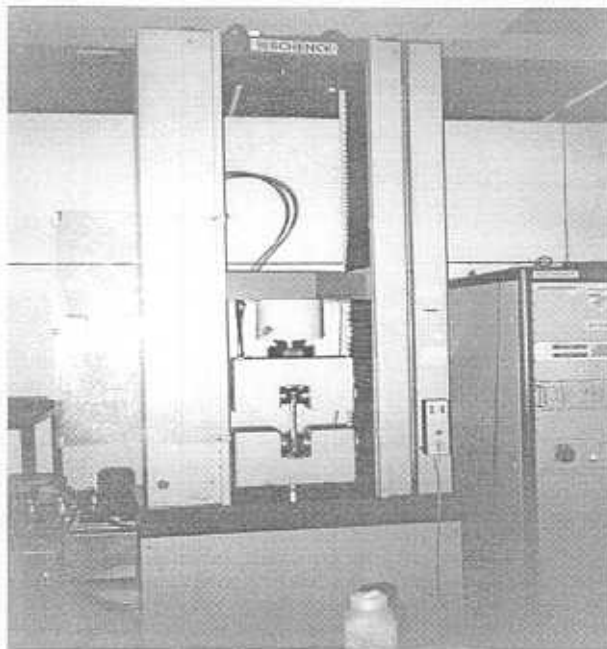
3.4 ขั้นตอนการทดสอบ

3.4.1 ขั้นเตรียมขั้นงานทดสอบ

1. นำวัสดุจากข้อ 3.1.1 ชิ้น 1 ถึง 6 ที่ขัดเครื่อมไว้มาตัดโดยคัตติ้งกระดาษทราย 6 ชิ้น ให้มีความกว้างชิ้นละประมาณ 300 mm ตามมาตรฐาน มอก. เพื่อนำไปทดสอบการหาค่าเย็บโนมูลัสโดยการทดสอบแรงดึง

2. นำวัสดุเข็นคีบวักบันข้อ 1 ที่จัดเตรียมไว้มาตัดโดยด้ามประแจทั้ง 1 ชิ้น ให้มีความยาวขั้นละประมาณ 30 mm เพื่อนำไปทดสอบหาส่วนผสมทางเคมีตัวยึดเครื่องอินไซน์สเปกโพรสโคป
3. นำวัสดุจากข้อ 3.1.1 ข้อ 1 ถึง 6 ที่จัดเตรียมไว้มาตัดโดยด้ามประแจทั้ง 2 ชิ้นให้มีความยาวขั้นละประมาณ 100 mm และวัสดุในข้อ 3.2.1 เพื่อนำไปทดสอบหาค่าขังไม้คุลลัตโดยใช้เสียงอุลดร้าโซนิก

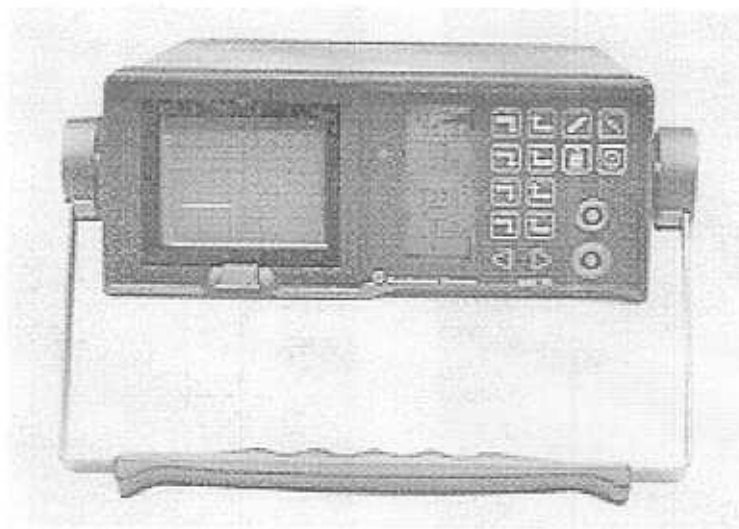
3.4.2 การทดสอบหาค่าขังไม้คุลลัตโดยการทดสอบแรงดึงด้วยเครื่อง Electromechanical Universal Testing Machine ดังรูปที่ 3.1.1



รูปที่ 3.4.1 เครื่อง Electromechanical Universal Testing machine

3.4.3 การทดสอบหาค่าขังไม้คุลลัตโดยใช้คลื่นเสียงอุลดร้าโซนิก

1. นำวัสดุจากข้อ 3.2.1 มาขึ้นรูปให้มีขนาด 16x16x100 mm
2. ทำการทดสอบปรับเทียบ (Calibration) เครื่องอุลดร้าโซนิก (รายละเอียดในภาคผนวก ก)
3. ทำการวัดความเร็วคลื่นความยาวโดยใช้หัวตรวจสอบชนิดหัวตรวจ ความถี่ 4 MHz
4. ทำการวัดความเร็วคลื่นความยาวโดยใช้หัวตรวจสอบชนิดหัวมูน 45 องศาและความถี่ 4 MHz ดังรูปที่ 3.4.2



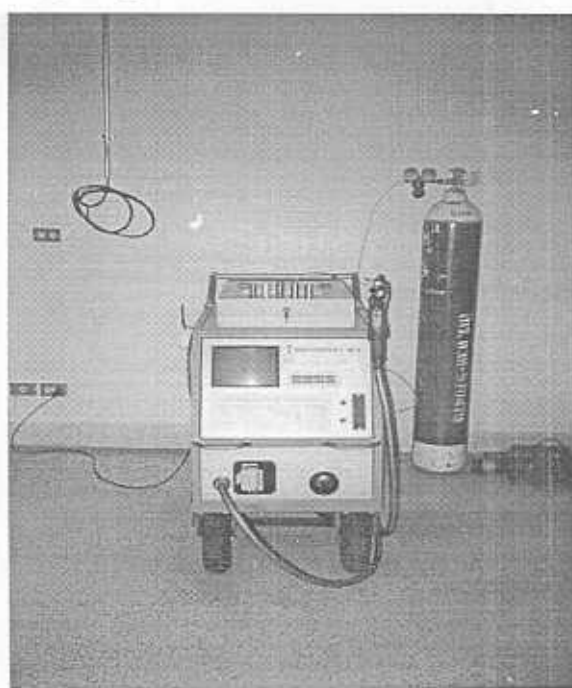
รูปที่ 3.4.2 เครื่องอุลตร้าโซนิก

3.4.4 การหาความหนาแน่นของวัสดุทั้ง 7 ประเภท โดยใช้หลักการของอาร์คิมีเดส

3.4.5 การทดสอบหาส่วนผสมทางเคมีในวัสดุ

1. นำชิ้นทดสอบที่เตรียมไว้ตามข้อ 3.1.1 มาเตรียมคิวหัวไว้เรียน

2. นำวัสดุจากข้อ 1 มาทดสอบหาส่วนผสมทางเคมีโดยใช้เครื่อง Emission Spectroscopy ดังรูปที่ 3.4.3



รูปที่ 3.4.3 เครื่อง Emission Spectroscopy

บทที่ 4

ผลการทดสอบ

ตอนที่ 1 ผลการหาค่าบั้งโมดูลัสของวัสดุประเภทต่าง ๆ

4.1 ผลการทดสอบการหาค่าบั้งโมดูลัสโดยการทดสอบแรงดึง

ตารางที่ 4.1.1 ผลการทดสอบการหาค่าบั้งโมดูลัสโดยการทดสอบแรงดึง

วัสดุ	E_{AV} (G Pa)
UNS C 80100	96.80
UNS C 3600	93.04
ASTM C 37700	82.85
A 93102	76.91
AA 6101	66.60
DIN C 25	196.22
DIN C 35	187.10
JS SUS 302	195.07
SS 304	184.97

หมายเหตุ E_{AV} คือ ค่าบั้งโมดูลัสเฉลี่ยจากการทดสอบ 10 ครั้ง

4.2 ผลการทดสอบหาค่าบั้งโมดูลัสโดยใช้กลิ่นเสียงอุตทร้าโซนิก

4.2.1 ผลิตภัณฑ์คุณภาพรับสั่งผลิตฯ ตามที่นิยม

Ubon Rajathanee University

番號	UNSCB0100		UNS C3800		ASTM C77700		A 93102		AA6101		DIN C25		DIN C35		JIS SU5302		SS304		Wire Gauge		
	C _L	C _R	Wire Gauge	Wire Gauge																	
1	4655	4332	2065	6394	3132	5888	5886	3177	3179	2218	4318	1971	6314	3156	5236	3070	5197	3022	3175	1477	3173
2	4686	4334	2080	6394	3173	5886	5886	3224	3211	2241	4318	1971	6314	3156	5236	3131	5197	3089	3167	1450	3153
3	4671	4334	2062	6394	3166	5884	5886	3210	3207	2229	4318	1934	6314	3156	5236	3116	5197	3022	3146	1504	3200
4	4671	4334	2068	6394	3160	5886	5886	3211	3205	2227	4318	1971	6314	3063	5236	3116	5197	3089	3159	1490	3200
5	4675	4334	2076	6394	3170	5884	5886	3218	3220	2246	4318	1934	6314	3063	5236	3129	5197	3099	3178	1499	3232
6	4672	4332	2061	6394	3160	5886	5886	3218	3215	2232	4318	1934	6314	2976	5236	3126	5197	3089	3152	1462	3221
7	4682	4334	2080	6394	3167	5884	5886	3216	3216	2240	4318	1934	6314	3063	5236	3122	5197	3022	3144	1370	3225
8	4671	4334	2075	6394	3166	5886	5886	3224	3222	2236	4318	1934	6314	3063	5236	3126	5197	3022	3167	1455	3221
9	4676	4332	2068	6396	3163	5884	5886	3220	3218	2231	4318	1934	6314	3053	5236	3124	5197	3089	3167	1421	3225
10	4672	4336	2072	6392	3176	5886	5886	3218	3216	2232	4318	1934	6314	3063	5236	3116	5197	3089	3152	1416	3204
11	4676	4334	2071	6394	3163	5885	5886	3214	3211	2233	4318	1935	6314	3052	5236	3116	5197	3052	3160	1454	3205
																			5155	1565	

Ubon Rajathanee University

ตารางที่ 4.2.2 ผลการทดสอบการหาค่าซึ้งโมดูลัส โดยใช้คิลลีนสีบงอุลตร้าโซนิก จากการคำนวณโดยใช้สมการ (2.3.9)

วัสดุ	E_{AV} (G Pa)
UNS C 80100	99.90 \pm 1.82
UNS C 3600	97.52 \pm 0.53
ASTM C 37700	87.62 \pm 1.42
A 93102	73.81 \pm 0.48
AA 6101	66.69 \pm 1068
DIN C 25	196.80 \pm 2.62
DIN C 35	208.98 \pm 1.36
SIS SUS 302	198.04 \pm 1.72
SS 304	181.94 \pm 2.80
White Ceramic # PRC-300-030G	9.90 \pm 1.36
White Ceramic # PRC-300-050A	8.05 \pm 1.54

หมายเหตุ E_{AV} คือ ค่าซึ้งโมดูลัสเฉลี่ยจากการทดสอบ 10 ครั้ง

4.3 ตารางเปรียบเทียบค่าข้อโน้มดูดส์จาก การใช้ค้อนนีตีงอุลตร้าโซนิก จากการทดสอบแรงดึงและค่าร่างมาตรฐาน (ASTM)

ตารางที่ 4.3.1 การเปรียบเทียบค่าข้อโน้มดูดส์โดยการทดสอบแรงดึง , ใช้ค้อนนีตีงอุลตร้าโซนิกและค่าร่างมาตรฐาน (ASTM)

วัสดุ	E_A (GPa)	E_B (GPa)	E_C (GPa)
UNS C 80100	96.80 ± 5.98	99.90 ± 1.82	120
UNS C 3600	93.04 ± 4.38	97.52 ± 0.53	96 – 120
ASTM C 37700	82.85 ± 4.56	87.62 ± 1.42	96 – 120
A 93102	76.91 ± 7.83	73.81 ± 0.48	73
AA 6101	66.60 ± 3.41	66.69 ± 1.68	73
DIN C 25	196.22 ± 3.23	196.80 ± 2.62	190 – 210
DIN C 35	187.10 ± 7.05	208.98 ± 1.36	190 – 210
SIS SUS 302	195.07 ± 12.50	198.04 ± 1.72	190 – 210
SS 304	184.97 ± 2.92	181.94 ± 2.80	190 – 210

หมายเหตุ E_A คือ ค่าข้อโน้มดูดส์โดยการทดสอบแรงดึง
 E_B คือ ค่าข้อโน้มดูดส์โดยใช้ค้อนนีตีงอุลตร้าโซนิก
 E_C คือ ค่าข้อโน้มดูดส์จากค่าร่างมาตรฐาน (ASTM)

ตอนที่ 2 ผลการคำนวณหาค่าขังโน้มคุลล์สของวัสดุเซรามิก

ตารางที่ 4.4.1 ผลการคำนวณหาค่าขังโน้มคุลล์สของ Alumina โดยเปลี่ยนแปลงเงื่อนไขต่างๆ

pH	ϕ	μ	$C_L(m/s)$	$C_T(m/s)$	b	$E_x(GPa)$	$E_y(GPa)$	$E_z(GPa)$
3.5	0.63	0.152	1926	1233	1.562	8.77	8.76	8.82
4	0.63	0.162	1881	1194	1.575	8.29	8.29	8.30
4.5	0.62	0.155	1791	1144	1.566	7.03	7.04	7.74
5	0.59	0.163	1736	1101	1.577	6.60	6.60	6.59
10.5	0.54	0.163	1689	1071	1.577	5.71	5.71	5.73
11	0.57	0.156	1784	1138	1.568	6.79	6.79	6.83
11.5	0.59	0.160	1850	1176	1.573	7.52	7.52	7.51

ตารางที่ 4.4.2 ผลการคำนวณหาค่าขังโน้มคุลล์สของ Alumina โดยกำหนดให้ pH = 4

แต่อุณหภูมิและเวลาที่ให้อุณหภูมิในการขึ้นรูปเปลี่ยนไป

อุณหภูมิ (°c)	เวลา (h)	ϕ	μ	$C_L(m/s)$	$C_T(m/s)$	b	E_x (GPa)	E_y (GPa)	E_z (GPa)
700	2	0.63	0.140	3318	2148	1.545	26.27	26.28	26.53
1200	1	0.76	0.188	7846	4862	1.614	169.47	169.47	70.16
	3	0.78	0.214	8312	5013	1.658	188.99	188.98	189.20
	12	0.82	0.200	9008	5513	1.634	237.56	237.56	238.75
	24	0.83	0.210	9027	5467	1.651	238.43	238.43	238.72
1350	1	0.96	0.184	10366	6452	1.607	235.53	375.53	374.75
	3	0.97	0.199	10656	6531	1.632	393.87	393.87	395.75
	12	0.99	0.200	10690	6541	1.634	403.92	403.92	404.03
	24	0.99	0.217	10844	6517	1.664	406.37	406.38	407.84
1500	3	0.99	0.242	10870	6335	1.716	392.04	392.04	393.05

ตารางที่ 4.4.3 ผลการคำนวณหาค่าซึ้งในคุณลักษณะของ Alumina โดยกำหนดให้ pH = 10.5
แต่อุณหภูมิและเวลาที่ให้อุณหภูมิในการขึ้นรูปเปลี่ยนไป

อุณหภูมิ (°c)	เวลา (h)	ϕ	μ	C_L (m/s)	C_T (m/s)	b	E_x (GPa)	E_y (GPa)	E_z (GPa)
700	2	0.55	0.198	3220	1976	1.630	20.42	20.42	20.33
	1	0.62	0.208	6430	3904	1.647	90.64	90.64	90.87
	3	0.64	0.172	6620	4167	1.589	103.38	103.38	103.50
	12	0.66	0.199	7120	4376	1.623	119.32	119.32	119.21
	24	0.66	0.195	7281	4479	1.626	125.65	125.65	126.01
	60	0.71	0.229	7928	4699	1.687	153.03	153.03	152.53
1200	1	0.79	0.235	9005	5298	1.700	217.44	217.44	217.49
	3	0.81	0.246	9214	5343	1.724	228.98	228.98	229.75
	12	0.90	0.245	9914	5757	1.722	296.90	296.90	294.77
	24	0.90	0.217	10121	6078	1.665	321.57	321.57	322.70
1350	3	0.95	0.213	10640	6426	1.656	377.72	377.72	377.92
1500	3								

หมายเหตุ ρ คือ Density of Alumina at Porosity = 3.97 g/cm³

ϕ คือ Volume Fraction

μ คือ Poisson's Ratio

b คือ C_L/C_T

E_x คือ ค่าซึ้งในคุณลักษณะที่คำนวณได้จากสมการที่ (2.3.8)

E_y คือ ค่าซึ้งในคุณลักษณะที่คำนวณได้จากสมการที่ (2.3.7)

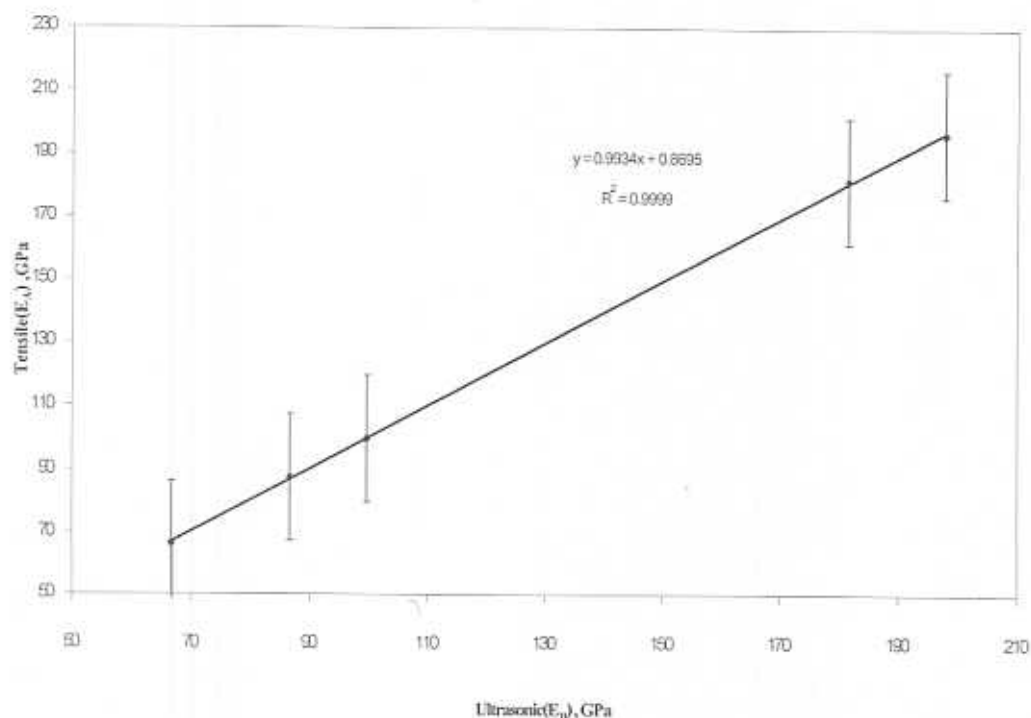
E_z คือ ค่าซึ้งในคุณลักษณะจากตารางมาตรฐาน

บทที่ 5

สรุปผลการทดลอง

5.1 สรุปผลการทดลอง

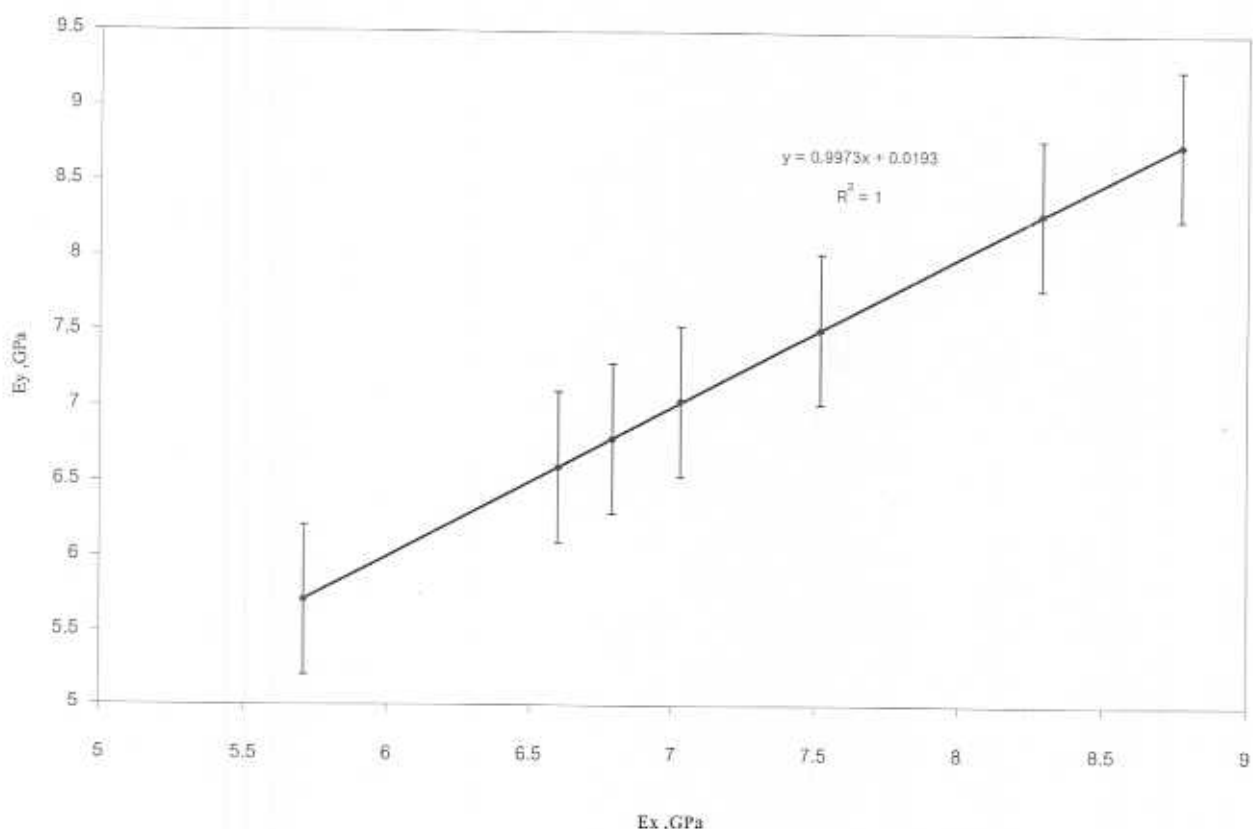
จากผลการทดลองการหาค่าบั้งโมดูลัสโดยใช้คลื่นเสียงอุลตร้าโซนิกและการหาค่าบั้งโมดูลัสโดยการทดสอบแรงดึงดูดทราบว่ามีค่าใกล้เคียงกันและเมื่อเรานำค่าที่ได้มาเปรียบเทียบกับค่ามาตรฐานผลปรากฏว่า “ได้ค่าที่สอดคล้องกันจึงสรุปได้ว่า การหาค่าบั้งโมดูลัสโดยใช้คลื่นเสียงอุลตร้าโซนิกเป็นอิทธิพลนั่งที่ใช้เป็นข้อมูลที่ฐานสำหรับงานด้านวิศวกรรมได้ ซึ่งในการหาค่าบั้งโมดูลัสโดยใช้คลื่นเสียงอุลตร้าโซนิกเราจำเป็นที่จะต้องทราบความเร็วของคลื่นตามยาว, ความเร็วของคลื่นตามขวาง และความหนาแน่นของวัสดุเดลล์ประเภท ก็จะสามารถหาค่าบั้งโมดูลัสของวัสดุชนิดนั้นได้ นอกจากนั้นค่าบั้งโมดูลัสของวัสดุแต่ละประเภทยังขึ้นอยู่กับส่วนผสมทางเคมีและกระบวนการผลิตของวัสดุนั้น การเปรียบเทียบค่าบั้งโมดูลัสโดยใช้คลื่นเสียงอุลตร้าโซนิกและค่าบั้งโมดูลัสโดยการทดสอบแรงดึงดูดที่เป็นโลหะ แสดงดังรูปที่ 5.1.1



รูปที่ 5.1.1 กราฟการแสดงการเปรียบเทียบค่าบั้งโมดูลัสจาก การทดสอบแรงดึง (E_A) และการใช้คลื่นเสียงอุลตร้าโซนิก (E_B)

สำหรับวัสดุเซรามิกที่ทดลองคือ Alumina (White Ceramic # PRC-300-030G) และ Alumina (White Ceramic # PRC-300-050A) เมื่อเปรียบเทียบกับตาราง 4.4.1 ผลการทดลองใกล้เคียงกัน

จากผลการทดลองจะเห็นได้ว่าค่าซัมโน้มคูลัสของเหล็ก (steel) จะมีค่าใกล้เคียงกับค่ามาตรฐานมากกว่าค่าซัมโน้มคูลัสของวัสดุชนิดอื่น เพราะว่าหัวตรวจสอบแบบหัวมุม (angle probe) ได้อุ่นสร้างขึ้นมาสำหรับวัสดุที่เป็นเหล็กโดยเฉพาะ จึงทำให้มุมที่คลื่นหักเหเข้าไปในวัสดุเป็นมุมที่กำหนดไว้บนหัวตรวจสอบ สำหรับวัสดุอื่น ๆ ที่มีตัวนี้หักเหแตกต่างจากเหล็ก มุมของหัวตรวจสอบที่หักเหเข้าไปในวัสดุเปลี่ยนไป ซึ่งมีผลต่อการคำนวณความเร็วคลื่นตามข้าง สำหรับวัสดุเซรามิก การเพิ่มค่า pH จะมีผลทำให้ค่าซัมโน้มคูลัสเปลี่ยนไปคือถ้าค่า pH เพิ่มขึ้นค่าซัมโน้มคูลัสจะมีค่าลดลงนอกจากนี้ค่าซัมโน้มคูลัสของเซรามิก ขึ้นอยู่กับอุณหภูมิและเวลาที่ให้อุณหภูมิในการขึ้นรูปอีกด้วย สำหรับวัสดุโลหะและเซรามิก ในการคำนวณหาค่าซัมโน้มคูลัสโดยใช้คลื่นเสียงอุตศรั้วโซนิก สมการที่ใช้ในการคำนวณค่าซัมโน้มคูลัส คือ สมการเดียวกัน ดังแสดงในรูปที่ 5.1.2



รูปที่ 5.1.2 กราฟแสดงการเปรียบเทียบค่าซัมโน้มคูลัสจาก การคำนวณโดยใช้สมการที่ (2.3.8), E_x และค่าซัมโน้มคูลัสจากการคำนวณโดยใช้สมการที่ (2.3.7), E_y

5.2 ข้อเสนอแนะ

5.2.1 การเตรียมชิ้นงานที่เป็นแท่งสี่เหลี่ยมนูนจาก เพื่อทดสอบหาค่าบังโภคุลัตต์โดยใช้กลีบเสียงอัลตร้าโซนิก ในการหาค่าความเร็วคลื่นเสียงตามขวาง จะต้องไม่ให้มุมของชิ้นงานชำรุด เพราะจะทำให้วัดค่าความยาวคลื่นตามขวางผิดพลาด สามารถแก้ไขโดยการนำกชิ้นทดสอบให้เป็นร่องหรือเจาะรู

5.2.2 การวัดความเร็วคลื่นเสียงตามขวางในวัสดุแต่ละประเภท จะมีมุมหักเหที่แตกต่างกัน เมื่อทำการปรับเทียบกับแท่งมาตรฐานสำหรับการปรับเทียบ K_i (DIN 54120) ในการวัดความเร็วคลื่นเสียงตามขวางในวัสดุประเภทอื่นควรใช้ ทฤษฎีปีทาゴรัสประกอบการคำนวณ

5.2.3 การใช้หัวตรวจสอบหานูนให้หาจุด Index Point ก่อนทุกครั้ง เพราะเมื่อใช้หัวตรวจสอบไปนานๆแท่งพลาสติก (Perspex Wedge) ที่สัมผัสรชิ้นงานจะเกิดการชำรุดทำให้มุมในการสั่งคลื่นเปลี่ยนไป

5.2.4 การวัดโดยใช้เกจวัดในเครื่องจะมีฟังก์ชันในการวัดแบบอัตโนมัติ เมื่อทำการวัดโดยเกจวัด ควรจะให้พีกอยู่ที่ 80% ของจอ CRT และให้เกจวัดอยู่ที่เดิมตลอด เพื่อให้ค่าความเร็วคลื่นเสียงที่วัดได้ถูกต้อง

5.2.5 การวัดทุกครั้งต้องทำการทดสอบปรับเทียบเครื่องอัลตร้าโซนิกก่อนเพื่อให้มั่นใจว่าสามารถวัดได้ถูกต้อง

บรรณานุกรม

1. ฟูอิชิ ชาโอะ, “ การทดสอบแบบไม่มีทำลาย”, โครงการสนับสนุนเทคโนโลยีอุตสาหกรรม สมาคมส่งเสริมเทคโนโลยี (ไทย – ญี่ปุ่น), 2530
2. มาตรฐานผลิตภัณฑ์อุตสาหกรรม การทดสอบเหล็กและเหล็กกล้า เล่ม 4, 2525
3. สมนึก วัฒนศรีบุก, “ การตรวจสอบโดยใช้คลื่นเสียงอุլตร้าโซนิก ”, ภาควิชาวิศวกรรมการผลิต คณะวิทยาศาสตร์ สถาบันเทคโนโลยีพระจอมเกล้าพระนครเหนือ
4. Albert E. Brown, “ Rationale and Summary of Methode for Determining Ultrasonic Properties of Materials at Lawrence Livermore National Laboratory”, February 9,1995
5. F.Smith, “ Principles of Materials Science and Engineering”,McGraw – will,1990 a Discussion”, J.Mater.Sci.5(1986)427 – 438
7. NDT , “ Relationship Between Ultrasonic Velocity and Elastic Moduli”, Martch 1996,Vol.1 No.3
8. R.A.Roberts, “Ultrasonic and Mechanical Behavior of Green and Partially Sintered Alumina : Effect of Slurry Consolidation Chemistry”, J.Am.Ceram.Soc.,81[10]2629 – 39 (1998)

ภาคผนวก ก.

ก.1. การปรับตั้งเครื่องสำหรับหัวตรวจสอบ

สำหรับหัวตรวจสอบมุนิวัลส์ที่ต้องการใช้ในห้องที่ไม่สามารถติดตั้งบนผนังได้ จึงจำเป็นต้องใช้แท่นมาตรฐานสำหรับตั้งที่มีรูปทรงใหม่ แห่งมาตรฐานนี้ต้องทำให้เกิดพิภพหลัง (Back Wall) สำหรับทิศทางของคลื่นเสียงทุกทิศทาง และต้องจดผลกระทบตั้งจากด้วย ซึ่งแห่งมาตรฐานแบบคริจังก์กลมรูปทรงกระบอกจะใช้ได้ตามเงื่อนไขที่กำหนด เพียงแต่ต้องให้เสียงว่างอยู่บนแนวระดับน้ำของแห่งมาตรฐานจริงๆ หัวตรวจสอบจะถูกวางตั้งพื้นที่ที่มีแรงเพลี่อสูงสุด ซึ่งหมายความว่า จุดที่เสียงออกจากหัวตรวจสอบอยู่ตรงชุดคุณบึกทางของแห่งมาตรฐาน และทำให้คลื่นเสียงตกกระทบตั้งจากกับผิวโลกแห่งมาตรฐานพอดี แล้วจะทำให้หัวตรวจสอบหันไปทางเดิน แห่งมาตรฐานแบบคริจังก์กลมรูปทรงกระบอกนี้สามารถจัดทำจากวัสดุใดๆ ไม่ยาก สำหรับตรวจสอบเหล็กกล้ามีแห่งมาตรฐาน (Calibration Block) สำหรับการปรับตั้ง 2 ลักษณะคือ K_1 (DIN 54120) และ K_2 (DIN 54122)

ก.1.1 แห่งมาตรฐาน K_2 (DIN 54122)

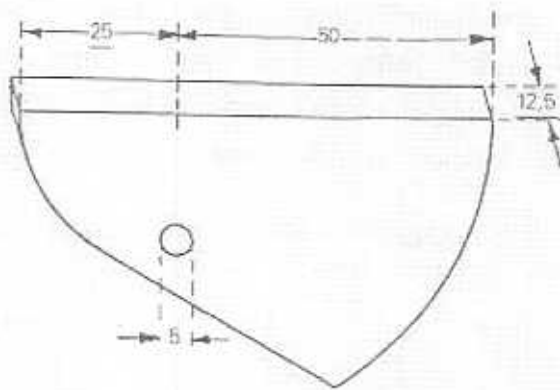
แห่งมาตรฐาน K_2 ประกอบด้วยแผ่นหนังในสีวงกลม 2 ชิ้น ซึ่งมีรัศมี $R_1 = 25 \text{ mm}$ และ $R_2 = 50 \text{ mm}$ ทำให้ระยะระหว่างเอกสารคือ $R_1 + R_2 = 75 \text{ mm}$ ถ้าวางหัวตรวจสอบหันไปทางรัศมี 25 mm จะได้อเอกสารคือที่ระยะทางเสียงดังนี้

$$S_n = R_1 + (n-1)(R_1 + R_2) ; n = 1, 2, 3, \dots$$

$$\text{จะได้ } S_1 = 25 \text{ mm}$$

$$S_2 = 100 \text{ mm}$$

$$S_3 = 175 \text{ mm}$$



รูปที่ ก.1.1 แท่งมาตรฐาน K_2 (DIN 54122)

ในการคำนวณเดียวกัน ถ้าหัวน้ำหัวตรวจสอบไปทางด้านรัศมี 50 mm จะได้

$$S_n = R_2 + (n-1)(R_1 + R_2) ; n = 1, 2, 3, \dots$$

$$\text{จะได้ } S_1 = 50 \text{ mm}$$

$$S_2 = 125 \text{ mm}$$

$$S_3 = 200 \text{ mm}$$

ก.1.2 แท่งมาตรฐาน K_1 (DIN 54120)

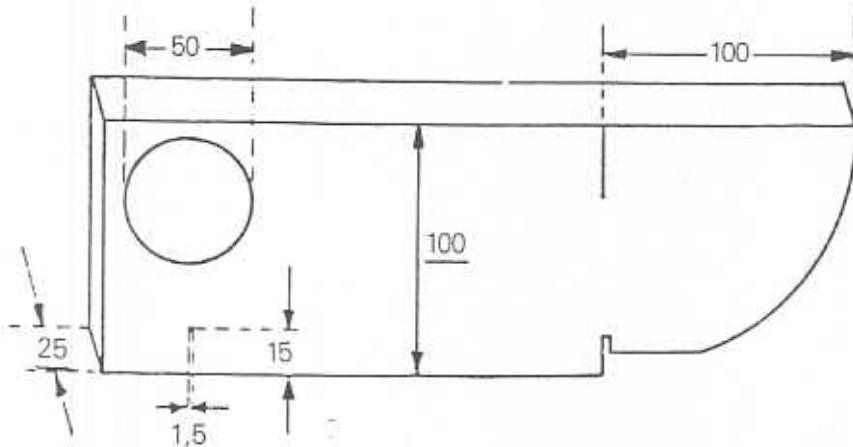
ในการปรับตั้งเครื่องค้าขยแท่งมาตรฐาน K_1 จะมีส่วนที่เป็นเศษหนึ่งส่วนสี่ของวงกลมรัศมี $R = 100 \text{ mm}$ และเพื่อที่จะให้เกิดecho ໂຄ (Multiple Echoes) ซึ่งที่จุดศูนย์กลางของเศษหนึ่งส่วนสี่วงกลมจะถูกหักเป็นร่องดังจากกับผิวสัมผัส ตรงนี้ที่ทำให้เกิดการสะท้อนกลับที่มุม (Corner Effect) ซึ่งไม่ว่าจะดำเนินการจากทิศทางใด เมื่อกระทบกับบริเวณมุมก็จะสะท้อนกลับไปทิศทางเดิม

จากแท่งมาตรฐาน K_1 (DIN 54120) จะได้echo ໂຄผิวหลังที่ระยะทางเดิมดังนี้

$$S_n = 100n ; n = 1, 2, 3, \dots$$

เนื่องจากการใช้งานมักจะมีการเสียดสี ทำให้หน้าสัมผัสของหัวตรวจสอบมีการสึกกร่อนได้ มีผลทำให้ค่าอุกเดช (probe Index) เปลี่ยนแปลงได้ ดังนั้นจึงควรหาข้อมูลอุกเดชใหม่เป็นระยะๆ

ซึ่งทำโดยการวัดตรวจสอบไวนน์แท่งมาตรฐาน K_1 และหาเอกโภคสูงสุดจากผิววงกลม ที่จุดนี้จะเป็นจุดที่หัวตรวจสอบส่งกลับเสียงออกจากหัวตรวจสอบ ซึ่งจะอยู่ตรงตำแหน่งร่องบากของ K_1 พอตี และอาจจะทำเครื่องหมายที่หัวตรวจสอบโดยตรง หรือวัสดุจะถูกออกเสียง (ร่องบาก) ไปถึงด้านหน้าหัวตรวจสอบ



รูปที่ ก.1.2 แท่งมาตรฐาน K_1 (DIN 54120)

ภาคผนวก ข

การทดสอบแรงดึง

ข.1. ขอบข่าย

ข.1.1. มาตรฐานนี้กำหนดการทดสอบผลิตภัณฑ์เหล็กกล้า ซึ่งมีขนาดเส้นผ่านศูนย์กลางตั้งแต่ 4 มิลลิเมตรขึ้นไปโดยการดึง สำหรับการทดสอบผลิตภัณฑ์เหล็กกล้าสักขยะอื่นที่โดยการดึงที่ไม่ได้กำหนดในเล่มนี้ จะปรากฏอยู่ในเล่มอื่นซึ่งอยู่ในชุดการทดสอบเหล็กและเหล็กกล้านี้ ได้แก่

- (1). มาตรฐานผลิตภัณฑ์อุตสาหกรรม การทดสอบเหล็กและเหล็กกล้า เล่ม 5 การทดสอบเหล็กกล้าแผ่นบาง โดยการดึง มาตรฐานเลขที่ นอ.244 เล่ม 5
- (2). มาตรฐานผลิตภัณฑ์อุตสาหกรรม การทดสอบเหล็กและเหล็กกล้า เล่ม 6 การทดสอบห่อเหล็กกล้าโดยการดึง มาตรฐานเลขที่ นอ.244 เล่ม 6
- (3). มาตรฐานผลิตภัณฑ์อุตสาหกรรม การทดสอบเหล็กและเหล็กกล้า เล่ม 7 การทดสอบลวดเหล็กกล้าโดยการดึงมาตรฐานเลขที่ นอ.244 เล่ม 7.

ข.2. บทนิยาม

ความหมายของคำที่ใช้ในมาตรฐานผลิตภัณฑ์อุตสาหกรรมนี้ มีดังต่อไปนี้

ข.2.1. ความยาวพิกัด (gauge length) หมายถึง ความยาวระหว่างจุดที่กำหนดขึ้นสองจุด ในส่วนที่เป็นรูปทรงกระบอกหรือรูปทรงเหลี่ยมของชิ้นทดสอบ เพื่อใช้หาความยืดระหว่างการทดสอบ

ข.2.1.1. ความยาวพิกัดเดิม (L_0) หมายถึงความยาวพิกัดก่อนการทดสอบ

ข.2.1.2. ความยาวพิกัดสุดท้าย (L_e) หมายถึงความยาวพิกัดหลังจากขึ้น

ทดสอบถูกดึงให้ขาด แล้วน้ำส่วนที่ขาดมาวางต่อเข้าด้วยกันให้สนิทที่สุด ใบแนวเส้นตรงเดียวกัน

ข.2.2. ความยาวพิกัดสำหรับเครื่องวัดการยืด (extensometer gauge length , L_c) หมายถึง ความยาวระหว่างจุดที่กำหนดขึ้น 2 จุด ในส่วนบนของชิ้นทดสอบ เพื่อใช้ในการวัดหารายริดโดยเครื่องวัดการยืด ความยาวนี้อาจแตกต่างจากความยาวพิกัดเดิม (L_0) และอาจจะเป็นค่าใดๆได้ที่มากกว่าเส้นผ่านศูนย์กลาง (d) หรือความกว้าง (b) ของชิ้นทดสอบ แต่ต้องน้อยกว่าความยาวของส่วนบน (L_c)

ข.2.3. ความยืดถาวร (permanent elongation) หมายถึงค่าที่เปลี่ยนไปของความยาวพิกัดของชิ้นทดสอบเนื่องจากความเห็นที่กำหนด (วัดหลังจากอาความเห็นที่กระทำบนชิ้นทดสอบออก

แล้ว) ก็คือเป็นร้อยละของความยาวพิกัดเดิม สัญลักษณ์ของความยืดอันนี้จะระบุว่ามีค่าที่มากกว่าความเดิมที่กำหนด

ข.2.4. ความยืด (elongation , A) หมายถึงความยืดถาวรของความยาวพิกัดหลังจากขึ้นทดสอบขาด ก็คือเป็นร้อยละของความยาวพิกัดเดิม

หมายเหตุ ถ้าความยาวพิกัดไม่ใช่ S_0 ควรจะระบุความยาวพิกัดไว้ท้ายสัญลักษณ์ของความยืด เช่น A_{S_0} หมายถึง ความยืดจากความยาวพิกัดเท่ากับ $10(4S_0/\pi)^{1/2}$

ข.2.5. การลดพื้นที่ (reduction of area, Z) หมายถึง การลดพื้นที่ภาคตัดขวางที่ลดลงมากที่สุดหลังจากขึ้นทดสอบขาด ก็คือเป็นร้อยละของพื้นที่ภาคตัดขวางเดิม

ข.2.6. แรงสูงสุด (maximum load , F_m) หมายถึง แรงสูงสุดที่ขึ้นทดสอบได้รับระหว่างการคีบ

ข.2.7. ความเก็บ (stress) หมายถึง แรงที่กระทำต่อขั้นทดสอบได้ฯ ระหว่างการทดสอบหารด้วยพื้นที่ภาคตัดขวางเดิม

หมายเหตุ ความเก็บในที่นี้คือ ความเก็บระบุ (nominal stress)

ข.2.8. ความด้านแรงดึง หรือความเก็บคงสูงสุด (tensile strength or maximum tensile strength, R_u) หมายถึง แรงสูงสุด (F_u) หารด้วยพื้นที่ภาคตัดขวางเดิมของขั้นทดสอบ

ข.2.9. ความเก็บคราก (yield stress) หมายถึง ความเก็บคงที่เกิดขึ้นเมื่อการทดสอบดำเนินไปถึงจุดที่ขั้นทดสอบเริ่มจะเปลี่ยนรูปถาวร (plastic deformation) และดำเนินต่อไปด้วยความเก็บที่เกือบคงที่

ข.2.9.1. ความเก็บครากบน (upper yield stress , R_{uH}) หมายถึงค่าความเก็บที่จุดเริ่มต้นของการเปลี่ยนรูปถาวร ซึ่งปรากฏในเหล็กกล้าบางชนิด หรือหมายถึง ค่าความเก็บที่ได้จากจุดของค่าดูดแรงของการคราก (yield) เมื่อว่าค่าที่ได้จะเท่ากันหรือต่ำกว่าที่จุดยอดจุดหลังๆ ระหว่างการเปลี่ยนรูปถาวร

ข.2.9.2. ความเก็บครากล่าง (lower yield stress , R_{uL}) หมายถึงค่าความเก็บต่ำสุดที่รักได้จากช่วงการเปลี่ยนรูปถาวรที่จุดครากโดยไม่นับสภาวะปรับตัวเริ่มแรก (initial transient effect) ซึ่งอาจเกิดขึ้นได้

หมายเหตุ เทศึกกล้าปักติดจะมีการคราก หากผ่านงานแปรรูปเย็น (cold working) หรือผ่านกรรมวิธีทางความร้อน (heat treatment) แล้วปรากฏการณ์การอาจหักไป ในกรณีที่ต้องระบุความเก็บพิสูจน์ (ดูข้อ ข.2.10 และ ข.2.11)

ข.2.10. ความเก็บพิสูจน์สำหรับความยืดที่ไม่ได้สัดส่วน (proof stress for non-proportional elongation, R_p) หมายถึงความเก็บที่ทำให้เกิดความยืดที่ไม่ได้สัดส่วน เท่ากับที่กำหนดไว้เป็นร้อยละความยาวพิกัดเดิม เมื่อจะระบุความเก็บพิสูจน์สำหรับความยืดที่ไม่ได้สัดส่วน ต้องบอกค่าความยืด

ที่ไม่ได้สักส่วนไว้ด้วย เช่น ร้อยละ 0.2 และเมื่อจะใช้สัญลักษณ์ให้ระบุความยืดที่ไม่ได้สักส่วนไว้ท้ายสัญลักษณ์ด้วย เช่น $R_{p0.2}$

ข.2.11. ความก dein พิสูจน์สำหรับความยืดรวม (proof stress for total elongation or proof stress under load, R_t) หมายถึง ความก dein ที่ทำให้เกิดความยืดรวม (total elongation) ซึ่งประกอบไปด้วยความยืดที่ไม่ได้สักส่วนรวมกับความยืดหยุ่น (elastic elongation) เท่ากับที่กำหนดไว้เป็นร้อยละของความยาวพิกัดเดิม เมื่อจะระบุความก dein พิสูจน์สำหรับความยืดรวม ต้องบอกค่าความยืดรวมด้วย เช่น ร้อยละ 0.5 และเมื่อจะใช้สัญลักษณ์ให้ระบุความยืดรวมไว้ท้ายสัญลักษณ์ด้วย เช่น $R_{t0.5}$

ข.2.12. ความก dein เปเลี่ยนรูป永久 (permanent set stress, R_s) หมายถึง ความก dein ที่เมื่อเอาแรงกระทำออกแล้ว ทำให้เกิดความยืดถาวรเท่ากับที่กำหนดไว้ เป็นร้อยละของความยาวพิกัดเดิม ถ้าใช้สัญลักษณ์ให้ระบุค่าความยืดถาวรไว้ท้ายสัญลักษณ์ด้วย เช่น $R_{s0.2}$

ข.3 สัญลักษณ์และความหมาย

ข.3.1. สัญลักษณ์และความหมายมาตรฐานนี้ ให้เป็นไปตามตารางที่ ข.3.1 และรูปที่ ข.3.1
ตารางที่ ข.3.1 สัญลักษณ์และความหมาย

สัญลักษณ์	ความหมาย
d	เส้นผ่านศูนย์กลางของส่วนขนาดของชิ้นทดสอบซึ่งมีภาคตัดวงกลม (คูรูปที่ ข.3.1)
a	ความหนาของส่วนขนาดของชิ้นทดสอบซึ่งมีภาคตัดสี่เหลี่ยมนูนจาก (คูรูปที่ ข.3.1)
b	ความกว้างของส่วนขนาดของชิ้นทดสอบซึ่งมีภาคตัดสี่เหลี่ยมนูนจาก (คูรูปที่ ข.3.1)
L_0^*	ความยาวพิเศษเดิม (คูรูปที่ ข.3.1)
L_c	ความยาวส่วนบน (คูรูปที่ ข.3.1)
L_e	ความยาวพิเศษสำหรับเครื่องวัดการยืด
L_t	ความยาวรวม (คูรูปที่ ข.3.1)
L_u	ความยาวพิเศษสุดท้าย (คูรูปที่ ข.3.1)
A	ความยืด = $((L_u - L_0) / L_0) * 100$
S_0	พื้นที่ภาคตัดขวางเดิมภายในความยาวพิเศษ (คูรูปที่ ข.3.1)
S_u	พื้นที่ภาคตัดขวางน้อยที่สุดหลังจากขาด
R_{eff}	ความกึ่นครากบน
R_{el}	ความกึ่นครากด้าน
R_p	ความกึ่นพิสูจน์สำหรับความยืดที่ไม่ได้สัดส่วน
R_i	ความกึ่นพิสูจน์สำหรับความยืดรวม
R_f	ความกึ่นเปลี่ยนรูปถาวร
F_m	แรงสูงสุด
Z	การลดตอนพื้นที่ $((S_0 - S_u) / S_0) * 100$
R_m^*	ความต้านแรงดึงหรือความกึ่นดึงสูงสุด = F_m / S_0
r	รัศมีของบ่าชิ้นทดสอบ (คูรูปที่ ข.3.1)

หมายเหตุ * ในกรณีที่ไม่ทำให้เกิดการเข้าใจผิดอาจใช้สัญลักษณ์ L และ R แทน L_0
และ R_m ได้ตามลำดับ

ภาคผนวก ค

สรุปสมการที่ใช้ในการหาค่าอัจฉริยะโดยใช้ค่าน์สเรียงอุตตร้าโซนิก

ก.1) สมการการหาค่า Poisson's Ratio

$$\text{จาก } C_L = \sqrt{\frac{E(1-\mu)}{\rho(1+\mu)(1-2\mu)}} \quad (1)$$

$$\text{และ } C_T = \sqrt{\frac{E}{2\rho(1+\mu)}} \quad (2)$$

(2)/(1) จะได้

$$\frac{C_T}{C_L} = \sqrt{\frac{E}{2\rho(1+\mu)}} \times \sqrt{\frac{\rho(1+\mu)(1-2\mu)}{E(1-\mu)}} \quad (3)$$

$$\left(\frac{C_T}{C_L}\right)^2 = \left\{ \frac{E}{2\rho(1+\mu)} \right\} \times \left\{ \frac{\rho(1+\mu)(1-2\mu)}{E(1-\mu)} \right\}$$

กำหนดให้

$$A = \left(\frac{C_T}{C_L}\right)^2$$

$$A = \frac{(1-2\mu)}{2(1-\mu)}$$

$$2A = \frac{(1-2\mu)}{(1-\mu)}$$

$$2A(1-\mu) = (1-2\mu)$$

นำ 2 หารตลอด

$$A(1-\mu) = \frac{1}{2} - \mu$$

$$A - A\mu = \frac{1}{2} - \mu$$

$$A - A\mu + \mu = \frac{1}{2}$$

$$\mu(1-A) = \frac{1}{2} - A$$

$$\mu = \frac{\frac{1}{2} - A}{1 - A}$$

$$\mu = \frac{\frac{1}{2} - \left(\frac{C_T}{C_L}\right)^2}{1 - \left(\frac{C_T}{C_L}\right)^2} \quad (4)$$

ค.2) สมการการหาค่าอัจฉริยะของโมดูลัสโดยใช้ค่านิ่มเสียงอุตสาหกรรมนิ่ม

ค.2.1)

$$E = 2G(1 + \mu) \quad (5)$$

ค.2.2)

$$E = \phi\rho C_L^2 \left\{ \frac{3 - \frac{4}{b^2}}{b^2 - 1} \right\} \quad (6)$$

ค.2.3)

$$E = \rho C_L^2 \left\{ \frac{(1 + \mu)(1 - 2\mu)}{(1 - \mu)} \right\} \quad (7)$$

ค.2.4)

$$E = 4\rho C_T^2 \left\{ \frac{\frac{3}{4} - \left(\frac{C_T}{C_L}\right)^2}{1 - \left(\frac{C_T}{C_L}\right)^2} \right\} \quad (8)$$

จากสมการ (5)

$$\begin{aligned} E &= 2G(1 + \mu) \\ \text{โดยที่ } G &= \rho C_T^2 \end{aligned}$$

$$\mu = \frac{\frac{1}{2} - \left(\frac{C_T}{C_L}\right)^2}{1 - \left(\frac{C_T}{C_L}\right)^2}$$

แทนค่าลงในสมการที่ (5) จะได้

$$\begin{aligned}
 E &= 2(\rho C_T^2) \times \left\{ 1 + \left[\frac{\frac{1}{2} - \left(\frac{C_T}{C_L} \right)^2}{1 - \left(\frac{C_T}{C_L} \right)^2} \right] \right\} \\
 &= 2(\rho C_T^2) \times \left\{ \frac{1 + \frac{1}{2} - \left(\frac{C_T}{C_L} \right)^2 - \left(\frac{C_T}{C_L} \right)^2}{1 - \left(\frac{C_T}{C_L} \right)^2} \right\} \\
 &= 2(\rho C_T^2) \times \left\{ \frac{\frac{3}{2} - 2\left(\frac{C_T}{C_L} \right)^2}{1 - \left(\frac{C_T}{C_L} \right)^2} \right\}
 \end{aligned}$$

เอา 2/2 คูณ จะได้สมการที่ (8)

$$E = 4(\rho C_T^2) \times \left\{ \frac{\frac{3}{4} - \left(\frac{C_T}{C_L} \right)^2}{1 - \left(\frac{C_T}{C_L} \right)^2} \right\} \quad (8)$$

จากสมการ (5) $E = 2G(1 + \mu)$

$$\text{โดยที่ } G = \rho C_T^2 \quad \text{และ} \quad C_T = C_L \sqrt{\frac{1 - 2\mu}{2(1 - \mu)}}$$

แทนค่าใน (5) จะได้สมการ (7)

$$E = \rho C_T^2 \left\{ \frac{(1 + \mu)(1 - 2\mu)}{(1 - \mu)} \right\} \quad (7)$$

จากสมการ (7) ให้

$$\mu = \frac{\frac{1}{2} - \left(\frac{C_T}{C_L} \right)^2}{1 - \left(\frac{C_T}{C_L} \right)^2} \quad \text{และ} \quad b = C_L/C_T$$

$$\mu = \frac{\frac{1}{2} - \frac{1}{b^2}}{1 - \frac{1}{b^2}}$$

พิจารณาเทอม $(1+\mu)$ ในสมการที่ (7)

$$\begin{aligned}
 (1 + \mu) &= 1 + \left\{ \frac{\frac{1}{2} - \frac{1}{b^2}}{1 - \frac{1}{b^2}} \right\} \\
 &= \frac{1 - \frac{1}{b^2} + \frac{1}{2} - \frac{1}{b^2}}{1 - \frac{1}{b^2}} \\
 &= \frac{\frac{3}{2} - \frac{2}{b^2}}{1 - \frac{1}{b^2}} \\
 &= \left(\frac{3b^2 - 4}{2b^2} \right) \left(\frac{b^2}{b^2 - 1} \right) \\
 (1 + \mu) &= \left(\frac{3b^2 - 4}{2} \right) \left(\frac{1}{b^2 - 1} \right)
 \end{aligned} \tag{9}$$

พิจารณา $(1-2\mu)$ ในสมการที่ (7)

$$\begin{aligned}
 (1 - 2\mu) &= 1 - 2 \left\{ \frac{\frac{1}{2} - \frac{1}{b^2}}{1 - \frac{1}{b^2}} \right\} \\
 &= \frac{1 - \frac{1}{b^2} - 1 + \frac{2}{b^2}}{1 - \frac{1}{b^2}} \\
 &= \frac{1}{b^2} \left(\frac{b^2}{b^2 - 1} \right) \\
 (1 - 2\mu) &= \left(\frac{1}{b^2 - 1} \right)
 \end{aligned} \tag{10}$$

พิจารณาเทอม $(1-\mu)$ ในสมการที่ (7)

$$\begin{aligned}
 (1 - \mu) &= 1 - \left\{ \frac{\frac{1}{2} - \frac{1}{b^2}}{1 - \frac{1}{b^2}} \right\} \\
 &= \frac{1 - \frac{1}{b^2} - \frac{1}{2} + \frac{1}{b^2}}{1 - \frac{1}{b^2}} \\
 (1 - \mu) &= \frac{1}{2} \left(\frac{b^2}{b^2 - 1} \right)
 \end{aligned} \tag{11}$$

แทนสมการ (9), (10) และ (11) ลงในสมการ (7) จะได้

$$\begin{aligned} E &= \rho C_L^2 \left\{ \left[\frac{3b^2 - 4}{2(b^2 - 1)} \right] \left[\frac{1}{b^2 - 1} \right] \left[\frac{2(b^2 - 1)}{b^2} \right] \right\} \\ &= \rho C_L^2 \left\{ \frac{(3b^2 - 4)}{b^2(b^2 - 1)} \right\} \end{aligned}$$

เอา b^2 หารตลอดจะได้สมการ (6)

$$E = \rho C_L^2 \left\{ \frac{3 - \frac{4}{b^2}}{b^2 - 1} \right\}$$

จึงสรุปได้ว่าสมการ (5), (6), (7) และ (8) เป็นสมการเดียวกัน

ถ้าพิจารณาสมการ (6) จะเห็นว่าในตอนต้นมีเทอมของ ϕ ด้วยเพระะว่าในสมการการหาค่าบั่ง ไม่ถูกต้องใช้ก็ลืมเตียงอุคลิตร์ว่า โซนิกในรูปมาตราฐานจะต้องพิจารณาค่า Porosity ด้วยโดย

$$\rho = (1 - p)\rho_0$$

เมื่อ ρ = ความหนาแน่นของวัสดุที่ไม่รวมค่า Porosity

p = Porosity

ρ_0 = ความหนาแน่นของวัสดุที่รวมค่า Porosity

ดังนั้นถ้าพิจารณาสมการ (6) จะได้

$$E = \rho_0(1 - p)C_L^2 \left\{ \frac{3 - \frac{4}{b^2}}{b^2 - 1} \right\}$$

สำหรับวัสดุที่เป็นโลหะเราถือว่าค่า Porosity มีค่าน้อยมากอาจคิดได้ว่าค่า Porosity มีค่าเท่าศูนย์ ดังนั้นสมการการหาค่าบั่ง ไม่ถูกต้อง โลหะจึงไม่มีเทอมของค่า Porosity แต่ถ้าเป็นวัสดุเชรามิคเราสามารถหาค่าบั่ง ไม่ถูกต้องได้โดยใช้สมการ (5), (6), (7) และ (8) โดยที่สมการดังกล่าวต้องพิจารณา Porosity ด้วย เมื่อเราพิจารณาสมการ (6) จะได้ว่า

$$\phi = (1 - p)$$

เมื่อ ϕ คือ Volume Fraction